

11-168

АЗЭРБАЙЧАН ССР ЕЛМЛӨРАКАДЕМИЯСЫ
АКАДЕМИЯ НАУК АЗЕРБАЙДЖАНСКОЙ ССР

МӘРУЗӘЛӘР ДОКЛАДЫ

том 14/III-жад

1977 • 10

УВАЖАЕМЫЙ ЧИТАТЕЛЬ !

Просмотрев издание,
укажите номер
читательского билета
и код категории
читателя.

(Пример: 325/ЗЕІ)

РЛЭР ҮЧҮН ГАЈДАЛАР

Академијасынын Мә'рүззәләри»ндә иңэри вә тәчрүби
и тамамламыш вә һәлә дәрч едилмәниш иәтичә-
п олунур.

Дә бир иечә айры-айры мә'лumatлар шәклини салын-
тики ма'лumatлардан мәһрум мүбәнисә характеристерли
и ләшdirмәләрсiz көмәкчи тәчрүбәләрин тәсвирини-
шил, тәсвири вә ичмал характеристери ишләр, төсвијә
jan сырф методик мәгаләләр, набелә битки вә неј-
м учун хүсуси эһемијјәтә малик тапшыларын тәс-
эрч едилмир.

Эгаләләр һәмин мә'лumatларын даһа кениш шәкилдә
и мүәллифини һүгүгүнү әлиндән алмыр.

на дахил олан мәгаләләр ялныз ихтирас үзәр бир
бира редаксија неј'ети тәрәфиидән иңэрдән кечири-
и чох олмамаг шәртилә мәгалаләр тәгдим едә биләр.
Академијасынын мүхбир үзүләринин мәгаләләри тәгди-

иши едир ки, мәгаләләр тәгдим едәркән онларын
набелә мәгаләниң јерләшdirиләчәи бөлмәниң ады-

Ф илдә З мәгалә дәрч етдиရе биләр.

Дахил олмагла, мүәллиф вәрәгәниң дөрдә бирин-
ьинда язылмыш 6—7 сәһиғе һәчинидә (10000 чап

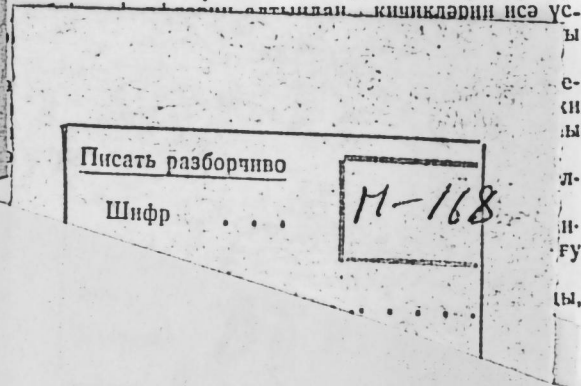
дилиндә хұласәси олмалыдыр; бундан башга, Азәр-
о рус дилиндә хұласә әлава едилмәлидир. Рус ди-
бајчан дилиндә хұласәси олмалыдыр.

Ишиниң јерине јетирилдији елми идарәниң ады вә
бөлмәлидир.

Тәдгигат ишләринин иәтичәләрниң дәрч олумасы
и ичәзиси олмалыдыр.

Хил олмагла) вәрәгини бир үзүндә ики хәтт ара бу-
дилмәли вә ики нүсхә тәгдим едилмәлидир. Дүстур-

кишикләрни исә ус-



АЗӘРБАЙЧАН ССР ЕЛМЛӘР АКАДЕМИЈАСЫ
АКАДЕМИЯ НАУК АЗЕРБАЙДЖАНСКОЙ ССР

МӘ'РУЗӘЛӘР ДОКЛАДЫ

ТОМ XXXIII ЧИЛД

№ 10

- ригләр:
13. Ики вә ja даһа чох м
ыны да көстәрмәк лазымдыр.
 14. Мәгаләләри коррект
ректура көндәрилдији тәгдири
 15. Редаксија мүәллифә

«ЕЛМ» НӘШРИЈАТЫ—ИЗДАТЕЛЬСТВО «ЭЛМ»
БАКЫ—1977—БАКУ



РЕДАКЦИОННАЯ КОЛЛЕГИЯ:

Г. Б. Абдуллаев (главный редактор), Ал. А. Ализаде, Г. А. Алиев,
 В. Р. Волобуев, Г. Г. Гасанов, Дж. Б. Гулиев, Н. А. Гулиев,
 А. И. Гусейнов, М. З. Джафаров, Ю. М. Сендов
 (зам. главного редактора), Г. Ф. Султанов, А. С. Сумбатзаде,
 М. А. Топчибашев, Т. Н. Шахтахтинский, Г. Г. Зейналов
 (ответств. секретарь).

УДК 517.91

МАТЕМАТИКА

Чл-корр. Ф. Г. МАКСУДОВ, Э. Э. ПАШАЕВА

**ЧЕТЫРЕХКРАТНОЕ РАЗЛОЖЕНИЕ ПО СОБСТВЕННЫМ
ФУНКЦИЯМ! НЕСАМОСОПРЯЖЕННОГО ДИФФЕРЕНЦИАЛЬНОГО
ОПЕРАТОРА 4-го ПОРЯДКА НА ПОЛУОСИ $[0, \infty)$**

Данная статья посвящена нахождению вида четырехкратного разложения по собственным функциям ниже определенного оператора в предположении, что у него спектральные собственные отсутствуют.

1. Рассмотрим дифференциальное выражение

$$l_\lambda(y) = y^{IV} + P_2(x, \lambda)y'' + P_3(x, \lambda)y' + [P_4(x, \lambda) + \lambda^4]y, \quad (1)$$

где $P_k(x, \lambda)$, $k = \overline{2, 4}$ комплекснозначные функции, суммируемые по x на полуоси $[0, \infty)$ и полиномы по λ степени $k - 1$:

$$P_k(x, \lambda) = \lambda^{k-1} p_{k1}(x) + \lambda^{k-2} p_{k2}(x) + \cdots + p_{kk}(x)$$

Разобьем комплексную λ -плоскость на 4 равных сектора S_k , определенных неравенствами

$$\frac{\kappa\pi}{2} < \arg \lambda \leqslant \frac{(\kappa+1)\pi}{2}; \quad \kappa = \overline{0, 3}$$

Каждый из секторов снова разделим на 2 равных сектора S'_k и S''_k . Границу между секторами S'_k и S''_k обозначим через T_k .

Исследование будем вести для конкретного сектора S'_k или S''_k .

Обозначим через \mathcal{D} союкупность всех функций $y(x, \lambda) \in L_2(0, \infty)$ для всех $\lambda \in S'_k$, (S''_k) и таких, что:

1) $y^{(v)}(x, \lambda)$, $v = \overline{0, 3}$ существуют и абсолютно непрерывны по x каждом конечном $[0, b]$, $b > 0$ для всех $\lambda \in S'_k$, (S''_k)

2) $l_\lambda(y) \in L_2(0, \infty)$

Далее, через \mathcal{D}_a обозначим

$$\left\{ y(x, \lambda) \in \mathcal{D}, \quad u_v(y) = \alpha_{v0} y(0, \lambda) + \alpha_{v1} y'(0, \lambda) + \alpha_{v2} y''(0, \lambda) + \right. \\ \left. + \alpha_{v3} y'''(0, \lambda) = 0 \right\} \quad (2)$$

Для каждого $\lambda \in S'_k$, (S''_k) определим оператор $L(\lambda)$: область определения есть \mathcal{D}_a и для $y \in \mathcal{D}_a$

$$L(\lambda)y = l_\lambda y$$

Обозначим через

$$m(y) = -P_2(x, \lambda)y'' - P_3(x, \lambda)y' - P_4(x, \lambda)y$$

© Издательство „Элм”, 1977 г.

Рассмотрим уравнение

$$y^{IV} + \lambda^4 y = m(y) \quad (3)$$

Тогда методом работы [2] нетрудно доказывается

Теорема 1. Уравнение (3) имеет решения $y_k(x, \lambda)$, $\lambda \in S'_k$, (S'_k) $k = \overline{1, 4}$, такие что при $x \geq a$ (a —некоторое положительное число)

$$y_k^{(v)}(x, \lambda) = \lambda^v e^{\lambda w_k x} z_k(x, \lambda) \quad (4)$$

$v = \overline{0, 3}$, w_k —корни из $\sqrt{-1}$, где $z_k(x, \lambda)$ ограничены в области $|a \leq x < \infty| \lambda \in S'_k$, (S'_k), $|\lambda| > r > 0$. Функции $y_k^{(v)}(x, \lambda)$ —непрерывны по совокупности (x, λ) при $x \in (0, \infty)$, $\lambda \in S'_k$, (S'_k), $|\lambda| > r > 0$ при каждом фиксированном $x \in [0, \infty)$, $y_k^{(v)}(x, \lambda)$ —голоморфные функции λ в областях $[\lambda \in S'_k$, (S'_k), $|\lambda| > r]$.

Предположим теперь, что при некотором $\epsilon > 0$ функции $p_{ik}(x)$ удовлетворяют условию

$$\int_0^\infty e^{ix} |p_{ik}(x)| dx < +\infty; k = \overline{1, i}; i = \overline{2, 4} \quad (5)$$

Тогда имеет место

Теорема 2. При $\lambda \in S'_k$, (S'_k), $|\lambda| > r$, $|\lambda| \rightarrow \infty$

$$y_k^{(v)}(x, \lambda) = \lambda^v e^{\lambda w_k x} \left[w_k^v + O\left(\frac{1}{|\lambda|}\right) \right] \quad (6)$$

равномерно относительно $x \in [0, \infty)$. А при условии (5) и при $x \rightarrow \infty$

$$y_k^{(v)}(x, \lambda) = \lambda^v e^{\lambda w_k x} [w_k^v + o(1)] \quad (7)$$

равномерно относительно $\lambda \in S'_k$, (S'_k), $|\lambda| > r > 0$

Непосредственный подсчет вронского функций $y_k(x, \lambda)$ при $x \rightarrow \infty$ при условии (5) доказывает их линейную независимость.

Из наших рассуждений и теоремы (1,6) (см. [3]) относительно случая $\lambda = 0$ вытекает

Теорема 3. При выполнении условий (5) уравнение (3) имеет линейно-независимые решения $y_k(x, \lambda)$, $k = \overline{1, 4}$ в области $|x \in [0, \infty)$, $0 \leq |\lambda| \leq r$ голоморфные по λ при $0 \leq |\lambda| \leq r$. Асимптотические формулы (7) имеют место равномерно относительно λ , $0 < |\lambda| < r$.

2. Спектр оператора $L(\lambda)$

Если обозначим через

$$A(\lambda) = \begin{vmatrix} U_1(y_1) & U_1(y_2) \\ U_2(y_1) & U_2(y_2) \end{vmatrix},$$

то собственные значения найдутся из уравнения

$$A(\lambda) = 0, \quad (8)$$

а собственная функция, соответствующая собственному значению λ_n будет иметь вид

$$y_n(x) = y(x, \lambda_n) = -\frac{U_1(y_n)}{U_1(y_1)} y_1(x, \lambda_n) + y_2(x, \lambda_n)$$

Будем считать, что при

$$\lambda \in T_k, A(\lambda) \neq 0 \quad (9)$$

Тогда легко доказывается

Теорема 4. При выполнении условий (5) и (9) множество собственных значений оператора $L(\lambda)$ в S'_k , (S'_k) конечно.

И, опираясь на изложенное, имеет место

Теорема 5. Все точки $\lambda \in T_k$ являются точками непрерывного спектра оператора $L(\lambda)$.

3. Отмечено, что при выполнении условий (5), оператор $L(\lambda)$ имеет лишь конечное число собственных значений.

Обозначим через Γ_N окружность радиуса N с центром в начале координат. Пусть $\lambda_1, \dots, \lambda_n$ —простые собственные значения оператора $L(\lambda)$, $y_1(x), \dots, y_n(x)$ —соответствующие им собственные функции. Ясно, что выбрав достаточно большое N , мы можем добиться, чтобы все числа $\lambda_1, \dots, \lambda_n$ попали внутрь окружности Γ_N .

Рассмотрим интеграл

$$J_N = \frac{1}{2\pi i} \int_{\Gamma_N} R_\lambda \left(\sum_{l=1}^4 \lambda^{l-1} f_l \right) d\lambda \quad (11)$$

Ясно, что ядро резолventы R_λ удовлетворяет уравнению

$$\frac{\partial^4 K}{\partial \xi^4} + \frac{\partial^2}{\partial \xi^2} [P_2(\xi, \lambda) K] - \frac{\partial}{\partial \xi} [P_3(\xi, \lambda) K] + P_4(\xi, \lambda) K = -\lambda^4 K + \delta(x - \xi) \quad (12)$$

Пусть $y(x, \lambda)$ является решением уравнения

$$L_1(y) = y^{IV} + P_2 y'' - P_3 y' + P_4 y = -\lambda^4 y + \sum_{l=1}^4 \lambda^{l-1} f_l, \quad (13)$$

прилежащим $L_2(0, \infty)$ при $\lambda \in S'_k$, (S'_k) и удовлетворяющим граничному условию (2), тогда

$$y(x, \lambda) = R_\lambda \left(\sum_{l=1}^4 \lambda^{l-1} f_l \right) \quad (14)$$

В силу финитности f_l , $l = \overline{1, 4}$ и (10) имеем следующие эквивалентные соотношения

$$y = R_\lambda \left(\sum_{l=1}^4 \lambda^{l-1} f_l \right) = \int_0^\infty K(x, \xi, \lambda) \left(\sum_{l=1}^4 \lambda^{l-1} f_l \right) d\xi = -\frac{1}{\lambda^4} \left(\sum_{l=1}^4 \lambda^{l-1} f_l \right) - \frac{1}{\lambda^4} \int_0^\infty K(x, \xi, \lambda) \left\{ \sum_{l=1}^8 \lambda^{l-1} l_1(f_l) \right\} d\xi \quad (14')$$

$$y = -\frac{1}{\lambda^4} \left(\sum_{l=1}^4 \lambda^{l-1} f_l \right) - \frac{1}{\lambda^8} \left(\sum_{l=1}^4 \lambda^{l-1} l_1(f_l) \right) - \frac{1}{\lambda^8} \int_0^\infty K(x, \xi, \lambda) \left\{ \sum_{l=1}^4 \lambda^{l-1} l_1^2(f_l) \right\} d\xi \quad (14'')$$

$$y = -\frac{1}{\lambda^4} \left(\sum_{l=1}^4 \lambda^{l-1} f_l \right) - \sum_{j=1}^3 \frac{1}{\lambda^{4j}} \left(\sum_{l=1}^4 \lambda^{l-1} l_1^{j-1}(f_l) \right) - \frac{1}{\lambda^{12}} \int_0^\infty K(x, \xi, \lambda) \left\{ \sum_{l=1}^4 \lambda^{l-1} l_1^3(f_l) \right\} d\xi \quad (14''')$$

$$y = -\frac{1}{\lambda^4} \left(\sum_{l=1}^4 \lambda^{l-1} f_l \right) - \sum_{j=1}^4 \frac{1}{\lambda^{4j}} \left(\sum_{l=1}^4 \lambda^{l-1} l_1^{j-1}(f_l) \right) - \frac{1}{\lambda^{16}} \int_0^\infty K(x, \xi, \lambda) \left\{ \sum_{l=1}^4 \lambda^{l-1} l_1^4(f_l) \right\} d\xi \quad (14''')$$

Из этих соотношений в силу оценки $|K(x, \xi, \lambda)| \leq \frac{c}{|\lambda|^3}$; $c = \text{const}$

$$\frac{1}{2\pi i} \int_{\Gamma_N} R_\lambda \left(\sum_{l=1}^4 \lambda^{l-1} f_l \right) d\lambda = -f_4 + o(1) \quad (15)$$

$$\frac{1}{2\pi i} \int_{\Gamma_N} \lambda R_\lambda \left(\sum_{l=1}^4 \lambda^{l-1} f_l \right) d\lambda = -f_3 - \alpha_{11} f_4 + o(1) \quad (16)$$

$$\frac{1}{2\pi i} \int_{\Gamma_N} \lambda^2 R_\lambda \left(\sum_{l=1}^4 \lambda^{l-1} f_l \right) d\lambda = -f_2 - \alpha_{21} f_3 - \alpha_{22} f_4 - \beta_{22} f'_4 + o(1) \quad (17)$$

$$\begin{aligned} \frac{1}{2\pi i} \int_{\Gamma_N} \lambda^3 R_\lambda \left(\sum_{l=1}^4 \lambda^{l-1} f_l \right) d\lambda &= -f_1 - \alpha_{31} f_2 - \alpha_{32} f_3 - \beta_{32} f'_3 - \\ &- \gamma_{33} f_4 - \beta_{33} f'_4 - \gamma_{33} f'_4 + o(1), \end{aligned} \quad (18)$$

где $\alpha_{ik}, \beta_{3i}, \gamma_{33}, i = 2, 3, k = \overline{1, 3}$ составлены из некоторых коэффициентов дифференциального выражения (1).

Если $p_j, (p_j)$ — число собственных значений в секторе $S_j, (S_j)$, то пользуясь теоремой Коши, имеем:

$$\begin{aligned} \lim_{N \rightarrow \infty} \frac{1}{2\pi i} \oint_{\Gamma_N} y(x, \lambda) d\lambda &= \lim_{N \rightarrow \infty} \oint_{\Gamma_N} R_\lambda \left(\sum_{l=1}^4 \lambda^{l-1} f_l \right) d\lambda = \\ &= \lim_{N \rightarrow \infty} \sum_{j=1}^4 \oint_{\Gamma_j(N)} R_\lambda \left(\sum_{l=1}^4 \lambda^{l-1} f_l \right) d\lambda = \sum_{k=1}^n \operatorname{res} R_\lambda / \lambda = i_k + \\ &+ \frac{1}{2\pi} \sum_{j=1}^4 \int_{\Gamma_j} (R_{\lambda=0}^{(j)} - R_{\lambda=0}^{(j)}) \left(\sum_{l=1}^4 \lambda^{l-1} f_l \right) d\lambda. \end{aligned}$$

Вычислив скачок резольвенты R_λ , найдя вычеты ее в окрестности простых полюсов и учитывая (15), имеем:

$$f_4 = \sum_{k=1}^n a_k y_k(x) + \frac{1}{2\pi i} \sum_{j=1}^4 \sum_{k=1}^3 \int_{\Gamma_j} F_k(\lambda) y_k(x, \lambda) d\lambda, \quad (19)$$

где

$$a_k = -\frac{\int_0^\infty y_k(\xi) f_4(\xi) d\xi}{\int_0^\infty |y_k(\xi)|^2 d\xi}; \quad k = \overline{1, n} \quad (20)$$

$$F_k(\lambda) = \sum_{l=1}^4 \lambda^{l-1} \varphi_{kl}(\lambda) \quad (21)$$

$$\varphi_{kl}(\lambda) = \int_0^\infty y_k(\xi, \lambda) f_l(\xi) d\xi, \quad (22)$$

где $y_j(\xi, \lambda), j = \overline{1, 3}$ функции, которые строятся с помощью тех же функций, что и ядро резольвенты $K(x, \xi, \lambda)$.

Таким образом доказана следующая

Теорема 6. Пусть имеет место (5) и собственные значения оператора $L(\lambda)$ простые, тогда для произвольных финитных функций $f_l, l = \overline{1, 4}$ из \mathcal{D}_a имеет место четырехкратное разложение

$$f_4 = \sum_{k=1}^n a_k y_k(x) + \frac{1}{2\pi i} \sum_{j=1}^4 \sum_{k=1}^3 \int_{\Gamma_j} F_k(\lambda) y_k(x, \lambda) d\lambda \quad (23)$$

$$\psi_1 = \sum_{k=1}^n i a_k y_k(x) + \frac{1}{2\pi i} \sum_{j=1}^4 \sum_{k=1}^3 \int_{\Gamma_j} \lambda F_k(\lambda) y_k(x, \lambda) d\lambda \quad (24)$$

$$\psi_2 = \sum_{k=1}^n \lambda^2 a_k y_k(x) + \frac{1}{2\pi i} \sum_{j=1}^4 \sum_{k=1}^3 \int_{\Gamma_j} \lambda^2 F_k(\lambda) y_k(x, \lambda) d\lambda \quad (25)$$

$$\psi_3 = \sum_{k=1}^n \lambda^3 a_k y_k(x) + \frac{1}{2\pi i} \sum_{j=1}^4 \sum_{k=1}^3 \int_{\Gamma_j} \lambda^3 F_k(\lambda) y_k(x, \lambda) d\lambda, \quad (26)$$

где через $\psi_i, i = \overline{1, 3}$ обозначены левые части (16), (17), (18), а коэффициенты a_k и функции $F_k(\lambda)$ определяются по формулам (20), (21), (22).

Замечание. Нами получены формулы разложения для $\psi_1, \psi_2, \psi_3, f_4$. Это связано с тем, что мы исходили из выражения $R_\lambda \left(\sum_{l=1}^4 \lambda^{l-1} f_l \right)$, что значительно облегчает выкладки. Если бы вместо $R_\lambda \left(\sum_{l=1}^4 \lambda^{l-1} f_l \right)$

взяли бы значительно более сложное выражение, то сразу бы получили формулы разложения для f_1, f_2, f_3, f_4 .

Данная работа была обсуждена с проф. В. Б. Лидским. Пользуясь случаем, выражаем ему глубокую благодарность.

Литература

- Наймарк М. А. Линейные дифференциальные операторы. Изд-во «Наука», 1969.
- Наймарк М. А. Исследование спектра и разложение по собственным функциям несамосопряженного дифференциального спектра 2-го порядка на полуоси. Труды Моск. матем. об-ва, 3, 1954.
- Фунтаков В. Н. О разложении по собственным функциям несамосопряженного дифференциального оператора четного порядка на полуоси. «Изв. АН Азерб. ССР», 6, 1960.

Поступило 22. IV 1977

Институт математики и механики

Ф. Г. Максудов, Е. Е. Пашаева

4-ЧУ ТЭРТИБ ӨЗ-ӨЗҮНӘ ГОШМА ОЛМАЈАН ДИФЕРЕНСИАЛ ОПЕРАТОРУН МӘХСУСИ ФУНКСИЈАЛАРЫНА КӨРӘ ЙАРЫМ ОХДА ДӘРДГАТ АҟЫЛЫШ

Мәнделә бир синиif өз-өзүнә гошма олмајан операторларын спектри, мәхсуси функцијаларының асимптотикасы және бу мәхсуси элементләрдә көрә йарым охда дәрдгат аҟылыш ерәнилмешdir.

F. G. Maksudov, E. E. Pashaeva

THE FOURFOLD EXPANSION AT THE EIGEN-FUNCTIONS OF ONE NOT SELF-CONJUGATE DIFFERENTIAL OPERATOR OF THE FOURTH ORDER ON THE SEMI-AXIS $([0, \infty))$

In the paper it is given a characteristics of the operator spectrum generated by differential expressions of the fourth order:

$$I_\lambda(y) = y^{VI} + P_2(x, \lambda) y'' + P_3(x, \lambda) y' + [P_4(x, \lambda) + \lambda^4] y$$

where $P_k(x, \lambda), k = \overline{2, 4}$ — are complex-valued functions, summed up at x on the semi-axis $[0, \infty)$ and polynomials at λ of k -th degree and the fourfold expansion at the eigen-functions, too.

УДК 517.513.83

МАТЕМАТИКА

Э. Г. ЭЙВАЗОВ

РАЗЛОЖЕНИЕ ПО РЕШЕНИЯМ ЗАДАЧИ ТЕОРИИ РАССЕЯНИЯ
ДЛЯ ОПЕРАТОРА $H_a + q(x)$

(Представлено академиком АН Азербайджанской ССР И. И. Ибрагимовым)

Настоящая работа посвящена задаче разложения по собственным функциям оператора, порожденного уравнением

$$H\psi = H_a \psi + q(x) \psi = \lambda^2 \psi \quad (1)$$

Здесь H_a —оператор Ф. А. Березина—Л. Д. Фаддеева [1], $q(x)$ —вещественно-значная функция определена во всем пространстве E_3 и удовлетворяет условиям $q(x) \in C^{(1)}(E_3)$ и $|q(x)| \leq \frac{C}{|x|^{\beta+1}}$ при $|x| > R$,

где ε , C и R —положительные постоянные числа.

Перечислим некоторые свойства оператора H_a . Рассмотрим в пространстве $L_2(E_3)$ оператор H_0 , который определяется следующим образом

$$\begin{aligned} \mathcal{D}(H_0) = \left\{ \psi(x) \in L_2(E_3) \mid \psi(x) = \psi_0(x) + \beta \frac{e^{iV\bar{\lambda}|x|}}{4\pi|x|} + \right. \\ \left. + \beta \frac{e^{iV\bar{\lambda}|x|}}{4\pi|x|} \right\}$$

$$H_0\psi = -\Delta\psi_0 + i\beta \frac{e^{iV\bar{\lambda}|x|}}{4\pi|x|} - i\beta \frac{e^{iV\bar{\lambda}|x|}}{4\pi|x|},$$

где $|0| = 1$, $\psi_0(x) \in W_2^2(E_3)$, $\psi_0(0) = 0$, β —произвольное число. Как показано в (1), для любого комплексного числа $0 (|0| = 1)$ оператор H_0 является самосопряженным расширением оператора Δ с областью определения

$$\mathcal{D}(-\Delta) = \{\psi \in L_2(E_3) \mid \psi(0) = 0, -\Delta\psi \in L_2(E_3)\}$$

Оператор H_a есть видоизменение оператора H_0 и определяется следующим образом:

$$\begin{aligned} \mathcal{D}(H_a) = \left\{ \psi \in L_2(E_3) \mid H_a \psi \in L_2(E_3), \int_{E_3} \delta_n(x) \psi(x) dx = \right. \\ \left. = \sigma(1 - 4\pi n) + O(1) \text{ при } n \rightarrow \infty \right\}$$

и $H_a \psi = -\Delta\psi + \alpha \sigma \delta(x)$, где $\alpha = -\frac{1}{2\pi^2 i V \bar{\lambda}} \cdot \frac{1+0}{1+i0}$ является вещественным числом, $\delta(x)$ —функция Дирака и

$$\delta_n(x) = (2\pi^2 |..|)^{-1} \int_0^n r \sin r |x| dr$$

Обозначим через K_λ резольвенту оператора H_a .

Имеют место следующие утверждения (1):

1°. R_λ^a —есть интегральный оператор с ядром

$$G_a(x, y, \lambda) = \frac{e^{iV\bar{\lambda}|x-y|}}{4\pi|x-y|} - \frac{\alpha}{1+2\pi^2 i \sigma(\lambda)} \frac{e^{iV\bar{\lambda}|x|}}{4\pi|x|} \cdot \frac{e^{iV\bar{\lambda}|y|}}{4\pi|y|} \quad (2)$$

2°. Собственные функции, соответствующие сплошному спектру, имеют такой вид:

$$\psi_a(x, \kappa) = e^{i(\kappa, x)} - \frac{\alpha}{1+2\pi^2 i \sigma(\kappa)} \frac{e^{i|\kappa||x|}}{4\pi|x|}, \quad (3)$$

где $\kappa (|\kappa|^2 = \lambda^2)$ —волновой вектор.

Обозначим через $G(x, y, \lambda)$ резольвентное ядро оператора H .

Теорема 1. Пусть $\operatorname{Im} \lambda \neq 0$. Тогда резольвента K_λ оператора является интегральным оператором с ядром типа Карлемана и ядро резольвенты удовлетворяет следующему интегральному уравнению

$$G(x, y, \lambda) = G_a(x, y, \lambda) - \int_{E_3} G_a(x, z, \lambda) q(z) G(z, y, \lambda) dz \quad (4)$$

Наметим кратко доказательство теоремы.

Из ограничения на $q(x)$ следует, что $\mathcal{D}(H_a) = \mathcal{D}(H)$. Тогда справедливы следующие резольвентные уравнения

$$\begin{aligned} R_\lambda &= R_\lambda^a - K_\lambda^a q K_\lambda, \\ R_\lambda &= K_\lambda^a - R_\lambda q R_\lambda^a. \end{aligned} \quad (5)$$

Ядра K_λ^a и $R_\lambda q R_\lambda^a$ порождают операторы типа Карлемана (нетрудно доказать, что $K_\lambda q K_\lambda^a$ является оператором Гильберта—Шмидта) и поэтому первое утверждение теоремы следует из (5). Используя симметричность $G(x, y, \lambda)$ и теорему Фубини из (5), получим интегральное уравнение (4). Спектр оператора H описывается следующими теоремами.

Теорема 2. Оператор H не имеет положительных собственных значений и непрерывный спектр совпадает с $[0, +\infty)$.

Теорема 3. Отрицательный спектр оператора H может состоять лишь из конечного числа собственных значений конечной кратности.

Доказательство этой теоремы тесно связано с результатами (2,3). Рассмотрим пространство B функций $f(x)$, представимых в виде

$$f(x) = a \frac{e^{iV\bar{\lambda}|x|}}{4\pi|x|} + u(x),$$

где a —постоянное число, $u(x)$ —непрерывная функция, равномерно стремящаяся к нулю при $|x| \rightarrow \infty$. Введем в B норму, полагая

$$\|f\|_B = |a| + \max_{x \in E_3} |u(x)|$$

При таком определении нормы B является банаевым пространством [4]. Заметим, что пространство B по существу отличается от пространства А. Я. Повзера и близко к пространству Т. Икебе [5].

Определение. Решение $\varphi(x, \kappa)$ интегрального уравнения

$$\varphi(x, \kappa) = e^{-i(\kappa, x)} - \frac{\alpha}{1 + 2\pi^2 i \alpha |\kappa|} \frac{e^{i|\kappa| \cdot |x|}}{4\pi|x|} - \int_{E_3} G_a(x, z, \lambda) q(z) \varphi(z, \kappa) dz, \quad (6)$$

где $\kappa (|\kappa|^2 = \lambda^2)$ — волновой вектор, называется решением задачи теории рассеяния для уравнения (1).

Если положим

$$\varphi(x, \kappa) = e^{-i(\kappa, x)} \frac{\alpha}{1 + 2\pi^2 i \alpha |\kappa|} \frac{e^{i|\kappa| \cdot |x|}}{4\pi|x|} + v(x, \kappa),$$

то для определения $v(x, \kappa)$ получим следующее интегральное уравнение

$$v(x, \kappa) = p_a(x, \kappa) - \int_{E_3} G_a(x, z, \lambda) q(z) v(z, \kappa) dz, \quad (7)$$

где

$$p_a(x, \kappa) = - \int_{E_3} G_a(x, z, \lambda) q(z) \left(e^{i(\kappa, z)} - \frac{\alpha}{1 + 2\pi^2 i \alpha |\kappa|} \frac{e^{i|\kappa| \cdot |z|}}{4\pi|z|} \right) dz$$

Наша ближайшая задача — доказать существование решения уравнения (7) в пространстве B .

Рассмотрим в B оператор

$$T_\lambda f = \int_{E_3} G_a(x, y, \lambda) q(y) f(y) dy$$

Лемма 1. Оператор T_λ является вполне непрерывным оператором в B при $\operatorname{Im} \lambda > 0$ и $\lambda \neq \frac{i}{2\pi^2 a}$, если $a > 0$.

Лемма 2. Семейство операторов T_λ ($\operatorname{Im} \lambda > 0$, $\lambda \neq \frac{i}{2\pi^2 a}$, если $a > 0$) непрерывно зависит от параметра λ .

Поступая так же, как в (4) и используя теорию Фредгольма, можно доказать следующие леммы.

Лемма 3. Уравнение (7) тогда и только тогда имеет единственное решение, когда уравнение

$$\begin{aligned} \psi(x) = & - \int_{E_3} \frac{e^{i\lambda|x-y|}}{4\pi|x-y|} q(y) \psi(y) dy - \\ & - C \frac{e^{i\lambda|x|}}{4\pi|x|} \int_{E_3} \int_{E_3} \frac{e^{i\lambda|s-t|}}{4\pi|s-t|} q(t) \frac{e^{i\lambda|t|}}{4\pi|t|} q(s) \psi(s) ds dt \end{aligned} \quad (8)$$

не разрешимо, где

$$C = \frac{\alpha}{1 + 2\alpha^2 t \alpha} \left| 1 - \frac{\alpha}{1 + 2\pi^2 t \alpha} \cdot \int_{E_3} \frac{e^{2i\lambda|y|}}{4\pi|y|^2} q(y) dy \right|$$

Лемма 4. Существует предел $\lim_{|x| \rightarrow \infty} |x| \left(\frac{\partial \psi}{\partial |x|} - i\lambda \psi \right) = 0$

Лемма 5. Если $\operatorname{Im} \lambda = 0$ и $\psi(x)$ удовлетворяет уравнению (8), то

$$\begin{aligned} & \int_{E_3} e^{-i(\kappa, y)} q(y) \psi(y) dy + \\ & + C \int_{E_3} \int_{E_3} \frac{e^{i\lambda|s-t|}}{4\pi|s-t|} q(t) \frac{e^{i\lambda|t|}}{4\pi|t|} q(s) \psi(s) ds dt = 0 \end{aligned} \quad (9)$$

Используя лемму 5 и результаты Т. Като (2), нетрудно установить следующие теоремы

Теорема 4. Для $\operatorname{Im} \lambda = 0$ уравнение (18) имеет только три-диагональное решение.

Для формулировки основной теоремы о разложении по собственным функциям оператора $H_a + q(x)$ введем следующие обозначения.

Пусть $\mu_1, \mu_2, \dots, \mu_n$ — отрицательные собственные числа оператора H , $\varphi_k(x)$ — соответствующие собственные функции и $\varphi(x, \kappa)$ — решение задачи теории рассеяния для уравнения (1).

Теорема 5. (Основная). Пусть $f(x)$ — произвольная функция из $L_2(E_3)$. Тогда имеют место следующие утверждения

$$1^\circ. \|f\|^2 = \sum_{l=1}^n \|g_l\|^2 + \int_{E_3} |g(\kappa)|^2 d\kappa \quad (\text{Равенство Парсеваля}),$$

где

$$g_l = (2\pi)^{-3} \int_{E_3} f(x) \overline{\varphi_l(x)} dx, \quad g(\kappa) = (2\pi)^{-3} \int_{E_3} f(x) \overline{\varphi(x, \kappa)} dx$$

$$2^\circ. f(x) = \sum_{l=1}^n g_l \varphi_l(x) + \int_{E_3} g(\kappa) \varphi(x, \kappa) d\kappa$$

$$3^\circ. Hf = \sum_{l=1}^n \mu_l g_l \varphi_l(x) + \int_{E_3} |\kappa|^2 g(\kappa) \varphi(x, \kappa) d\kappa$$

Надо отметить, что полученные результаты обобщаются на тот случай, когда в (1) оператор H_a заменяется оператором H_U (где U — унитарная матрица), который получается после придания математического смысла выражению

$$-\Delta + \sum_{k=1}^n \beta_k \delta(x - x_k) \quad (x_k = (x_1^{(k)}, x_2^{(k)}, x_3^{(k)}) \in E_3)$$

В заключение выражаю благодарность своему научному руководителю проф. М. Г. Гасымову за постановку задач и помочь в работе

Литература

1. Березин Ф. А., Фаддеев Л. Д. ДАН СССР, т. 137, № 5, стр. 1011 1961.
2. Като Т. Communications on Pure and Applied Mathematics, 12, № 3, 403—425, 1959.
3. Бирман М. Ш. Вестник ЛГУ, серия матем., мех., астрономии, № 13, вып. 3, стр. 163—166, 1961.
4. Повзнер А. Я. Матем. сб., 32, 7-1, № 1, стр. 109—156, 1953.
5. Икебе Т. Arch., ration., mech. a. analysis; v. 5, № 1, p. 1—34, 1960.
6. Ахисар Н. И., Глазман И. М. Теория линейных операторов в гильбертовом пространстве М., 1966.

Институт математики и механики

Поступило 13. IV 1977

Е. Н. Евзазов

$H_a + q(x)$ ОПЕРАТОРУ ҮЧҮН СӘПИЛМӘ МӘСӘЛӘСИННИН ҢЭЛЛӘРИ

ҮЗРӘ АЙРЫЛЫШ

Мәсаләдә $H_a + q(x)$ операторунуң спектри тәндиг едилмисш үә сәпилмә мәсәләсиның ңэлләринең көзөрөн айрылыш теореми ишбат олунмушшур.

E. N. Elvazov

EXPANSION BY THE SOLUTIONS OF THE PROBLEM OF DISPERSION THEORY FOR THE OPERATOR $H_a + q(x)$

In the paper it is investigated the spectrum of the operator $H_a + q(x)$ and it is proved the expansion theorem by the solutions of the problem of dispersion theory.

УДК 6.1.315. с.62

ФИЗИКА ПОЛУПРОВОДНИКОВ И ДИЭЛЕКТРИКОВ

Чл.-корр. М. И. АЛИЕВ, А. З. ДАИБОВ, И. А. ИСМАИЛОВ

О ВЛИЯНИИ СИЛЬНОЙ НЕПАРАБОЛИЧНОСТИ НА
ОТРИЦАТЕЛЬНОЕ МАГНИТОСОПРОТИВЛЕНИЕ В Cd_{0,1}Hg_{0,9}Te

Отрицательное магнитосопротивление (ОМС) исследовано в InAs [1, 2], InSb [3–6], Cd_xHg_{1-x}Te [7]. В [8] показано, что ОМС в квантующем магнитном поле обусловлено рассеянием электронов на ионизированных примесях.

Нами было исследовано ОМС в вырожденных образцах Ga_xIn_{1-x}As ($x = 0; 0,035; 0,085$) и Cd_{0,1}Hg_{0,9}Te [9, 10], в которых установлена зависимость величины максимума ОМС и его смещение от температуры и содержания GaAs в Ga_xIn_{1-x}As.

С уменьшением величины максимума ОМС уменьшается наклон кривых магнитосопротивления в зависимости от параметра $\alpha = \frac{h^2}{\mu}$

(α пропорционален минимальному разрешенному углу рассеяния электронов и квантующем магнитном поле [8], μ —циклотронная частота, μ —уровень Ферми).

В работе [11] показано, что для вырожденных полупроводников с параболической зоной наклон кривых определяется параметром $\xi = \frac{1}{k_F^2 R^4}$, где R —радиус экранирования кулоновского поля иона,

$$R^2 = \frac{\pi k_B T}{6 \pi e^2 n} \frac{E_{F_0}}{E_{F_0}} \quad (1)$$

k_F —волновой вектор электрона на уровне Ферми,

$$k_F^2 = \frac{2 m_e \mu}{h^2} \quad (2)$$

E_{F_0}, E_{F_0} —одноизмерительные интегралы Ферми, m_e —эффективная масса электрона на две зоны проводимости, n —концентрация электронов.

Из (1) и (2), получим

$$\xi = \frac{4 m_e \alpha^2}{\pi h^2 (3 \pi^2 n)^{1/2}} \quad (3)$$

Как следует из (3), параметр $\xi \sim \frac{m_e}{n^{1/2}}$ растет с увеличением эффективной массы и уменьшением концентрации электронов. Это значит, что с ростом параметра ξ должна уменьшаться величина максимума ОМС. Как видно из рисунка, экспериментально полученные зависимости магнитосопротивления для Ga_xIn_{1-x}As (кр. 1, 2, 3) хорошо согласуются с теоретическими из [11], что нельзя сказать о Cd_{0,1}Hg_{0,9}Te (кр. 4). Здесь, пожалуйста, сказывается влияние смешанного механизма рассеяния (рассеяние на ионах примеси и фонах [12]) и сильной непараболичности, которая не была учтена в работе [11].

Влияние сильной непараболичности сказывается на положении максимума ОМС (см. рисунок). Так, если для Ga_xIn_{1-x}As максимум ОМС находится при значении $\alpha = 1, 2$, то для Cd_{0,1}Hg_{0,9}Te—при $\alpha = 0,6$, т. е. максимум ОМС в Cd_{0,1}Hg_{0,9}Te смещается в сторону малых значений α .

Это мы объясняем следующим образом. Для вырожденных полупроводников параметр α в двухэлектронном приближении записывается:

$$\alpha = \frac{2 eH}{m_n c e_g} \left[\sqrt{1 + \frac{2 h^2}{m_n e_y} (3 \pi^2 n)^{1/2}} \left(\sqrt{1 + \frac{2 h^2}{m_n e_y} (3 \pi^2 n)^{1/2}} - 1 \right) \right]^{-1}, \quad (4)$$

отсюда при $e_g \rightarrow \infty$, т. е. в параболическом случае

$$\alpha = \frac{2 eH}{ch} (3 \pi^2 n)^{-1/2}, \quad (5)$$

а для $e_g \rightarrow 0$, т. е. в случае сильной непараболичности

$$\alpha = \frac{eH}{ch} (3 \pi^2 n)^{-1/2} \quad (6)$$

Как видно из формул (5) и (6), в обоих случаях α не зависит от эффективной массы электронов, а зависит от их концентрации. Причем, при данной концентрации и напряженности магнитного поля, величина α , в случае сильной непараболичности, в два раза меньше, чем α в параболическом случае. Этим и объясняется смещение максимума ОМС в Cd_{0,1}Hg_{0,9}Te, обусловленное сильной непараболичностью зоны проводимости.

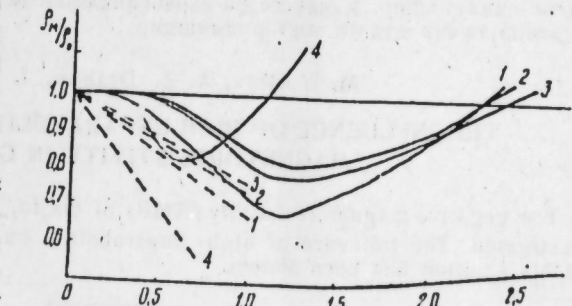
В заключение авторы выражают благодарность С. А. Алиеву за полезное обсуждение настоящей работы.

Литература

1. Амирханов Х. И., Баширов Р. И. ФТТ, 8, 3105, 1966.
2. Тэлдилковский М. А., Соколов В. И., Нагис О. И. Phys. Stat. Sol. 9, K 91, 1965.
3. Ильин В. А., Шапиро Е. З. ФТП, 7, 393, 1973.
4. Магнуссон В. Phys. Stat. Sol. (b) 56, 269, 1973.
5. Токимото М., Уаманоиси С., Уошибро К. J. Phys. Soc. Japan, 36, 914, 1974.
6. Манасфельд Р., Эйтт Т. J. Phys. C: Sol. State, Phys., 9, 3781, 1976.
7. Верченко Н. И., Пашковский М. В. ФТТ, 15, 3716, 1973.
8. Дубинская Л. С., ЖЭТФ, 56, 801, 1969.
9. Алиев М. И., Даидов А. З., Исмаилов И. А. ДАН Азерб. ССР, XXX, 34, 1974.
10. Алиев М. И., Даидов А. З., Исмаилов И. А. ФТП, 9, 507, 1975.
11. Сенгардтс Р., Найджел С. Сол. St. Соц. физ., 9, 1007, 1071.
12. Алиев С. А. Автореф. канд. дисс. Баку, 1975.

Институт физики

Поступило 31. V 1977



М. И. Элиев, А. З. Даивов, И. А. Исмаилов

**Cd_{0,1}Hg_{0,9}Te КҮЧЛҮ ГЕЈРИ-ПАРАБОЛИКИЛІН МӘНФИ МАГНИТ
МҰГАВИМӘТИНӘ ТӘ'СИРІ**

Мәгаләдә Ga_xIn_{1-x}As үә Cd_{0,1}Hg_{0,9}Te-да мәнфи магнит мұгавимәти (МММ) тәдгіг еділмішdir. Күчлү гејри-параболиклини МММ-ин максимумна вә оның вәзілжетинә тә'сир етуди көстәрілмішdir.

M. I. Aliev, A. Z. Daibov, I. A. Ismailov

**THE INFLUENCE OF HIGH UNPARABOLITY ON THE NEGATIVE
MAGNETORESISTIVITY IN Cd_{0,1}Hg_{0,9}Te**

The negative magnetoresistivity (NMR) of Ga_xIn_{1-x}As and Cd_{0,1}Hg_{0,9}Te has been investigated. The influence of high unparabolity on the quantity of NMR maximum and his position has been shown.

АЗЭРБАЙЖАН ССР ЕЛМЛӘР АКАДЕМИЯСЫНЫН МӘРУЗӘЛӘРИ

ДОКЛАДЫ АКАДЕМИИ НАУК АЗЕРБАЙДЖАНСКОЙ ССР

ТОМ XXXIII ЧИЛД

№ 10

1977

ФИЗИКА

И. Г. ДЖАФАРОВ, С. Ф. СУЛТАНОВ

**К ВОПРОСУ О СТРУКТУРЕ НЕЙТРАЛЬНЫХ
СЛАБЫХ ТОКОВ**

(Представлено академиком АН Азербайджанской ССР Л. М. Имановым)

Открытие нейтральных слабых токов (НСТ) [1, 2] привело к существенному изменению наших представлений о природе слабого взаимодействия. В частности, экспериментальные данные по НСТ противоречат гипотезе об универсальности слабого взаимодействия, а именно, оказалось, что константы взаимодействия неодинаковы для различных частиц (см., например, обзор [3]). В настоящее время установление структуры НСТ является одной из важнейших задач физики элементарных частиц.

Эксперименты по изучению НСТ можно разбить на три категории: I. Инклузивные эксперименты по рассеянию нейтрино и антинейтрино на нуклонах. Такие эксперименты проводятся, главным образом, тремя группами: сотрудничество Гарвард—Пенсильвания—Висконсин—Фермилаб (HPWF), сотрудничество Калтех—Фермилаб (CITF) и сотрудничество „Гаргамель“ (CERN).

II. Эксклюзивные эксперименты по рассеянию нейтрино и антинейтрино на нуклонах. Эксклюзивные эксперименты особенно интересны в связи с тем, что из них можно получить информацию об изотопической структуре НСТ.

III. Эксперименты по изучению рассеяния нейтрино и антинейтрино на электроне.

Результаты указанных экспериментов свидетельствуют о (V, A)—структуре НСТ. В настоящей заметке мы рассматриваем ограничения на векторную и аксиальную константы НСТ, вытекающие из экспериментов I и III.

При анализе экспериментальных данных мы будем исходить из гамильтонiana вида

$$H = \frac{G}{\sqrt{2}} I_a I_a^+, \quad (1)$$

где

$$I_a = \bar{v}_e \gamma_a (1 + \gamma_5) v_e + \bar{e} \gamma_a (gv + g_A \gamma_5) e + (v_e \rightarrow v_\mu, e \rightarrow \mu) + \\ + \bar{n} \gamma_a (cv + c_A \gamma_5) n + \bar{d} \gamma_a (c'_v + c'_A \gamma_5) d.$$

В наиболее популярных единичных теориях слабого и электромагнитного взаимодействий—в модели Вайнберга—Салама (ВС) [4, 5] и

Таблица 1

Модель	g_V	g_A	c_V	c_A	c'_V	c'_A
BC	$-\frac{1}{2} + 2\sin^2 \eta_W$	$-\frac{1}{2}$	$\frac{1}{2} - \frac{4}{3}\sin^2 \eta_W$	$\frac{1}{2}$	$-\frac{1}{2} + \frac{2}{3}\sin^2 \eta_W$	$-\frac{1}{2}$
V	$-1 + 2\sin^2 \eta_V$	0	$1 - \frac{4}{3}\sin^2 \eta_V$	0	$-1 + \frac{2}{3}\sin^2 \eta_V$	0

векторной модели (V) (6)—величины g_V , g_A , c_V , c_A , c'_V и c'_A принимают значения, приведенные в табл. 1 ($\sin^2 \eta_W$ и $\sin^2 \eta_V$ —параметры со соответствующими теорий).

Таблица 2

Группа	R_v	$R_{\bar{v}}$
HPWF	$0,29 \pm 0,04$	$0,39 \pm 0,10$
CITF	$0,24 \pm 0,02$	$0,34 \pm 0,09$
CERN	$0,25 \pm 0,04$	$0,39 \pm 0,06$

Проанализируем данные о НСТ, полученные из экспериментов по изучению инклузивных процессов. Результаты экспериментов, проведенных различными группами, даны в табл. 2 (см., например, [7, 8]). В табл. 2 R_v и $R_{\bar{v}}$ —отношение сечений инклузивных процессов, обусловленных нейтральными и заряженными токами:

$$R_v = \frac{\sigma(\nu_\mu + N \rightarrow \nu_\mu + \text{адр.})}{\sigma(\nu_\mu + N \rightarrow \mu^- + \text{адр.})}, \quad R_{\bar{v}} = \frac{\sigma(\bar{\nu}_\mu + N \rightarrow \bar{\nu}_\mu + \text{адр.})}{\sigma(\bar{\nu}_\mu + N \rightarrow \mu^+ + \text{адр.})}.$$

Если учесть, что указанные эксперименты проводились на мишених, состоящих из приблизительно равного числа протонов и нейтронов, то в рамках кварк-парточной модели величины R_v и $R_{\bar{v}}$, вычисленные согласно гамильтониану (1), имеют вид:

$$R_v = \frac{1}{3}(c_V^2 + c_V c_A + c_A^2 + c_V' + c_V' c_A' + c_A'^2), \quad (2)$$

$$R_{\bar{v}} = (c_V^2 - c_V c_A + c_A^2 + c_V' - c_V' c_A' + c_A'^2). \quad (3)$$

Очевидно, если предположить одинаковую структуру НСТ и d -кварков ($c_V = c_V'$, $c_A = c_A'$), то каждое из экспериментальных данных по R_v вместе с формулой (2) (а также по $R_{\bar{v}}$ вместе с (3)) определяет соответствующую область допустимых значений c_V и c_A .

Экспериментальные данные группы HPWF изображены на рис. 1. Эллипсы 1 и 2 отвечают соответственно нижней и верхней границам значений $R_{\bar{v}}$, а эллипсы 3 и 4—пределным значениям данных по R_v . Заштрихованная область отвечает значениям c_V и c_A , допустимым обоими данными по R_v и $R_{\bar{v}}$.

На рис. 2 изображены области значений c_V и c_A , допустимых экспериментальными данными групп CITF (горизонтально заштрихованная область, задаваемая сплошными эллипсами) и CERN (вертикально заштрихованная область, задаваемая пунктирными эллипсами). Учитывая симметричность выражений R_v и $R_{\bar{v}}$ относительно замены

$c_V \rightarrow -c_V$, $c_A \rightarrow -c_A$, на этом рисунке мы привели лишь область положительных значений c_V и c_A . Ограничения на c_V и c_A , вытекающие из рис. 1 и 2, приведены в табл. 3.

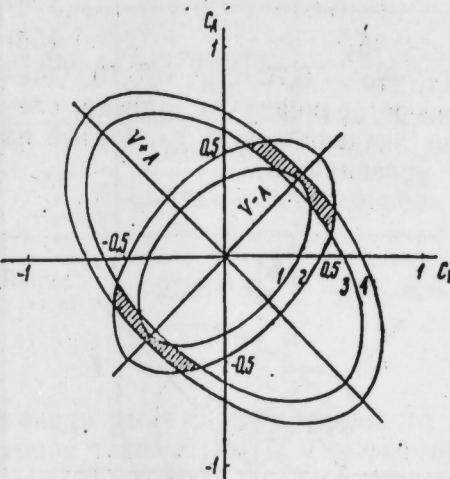


Рис. 1.

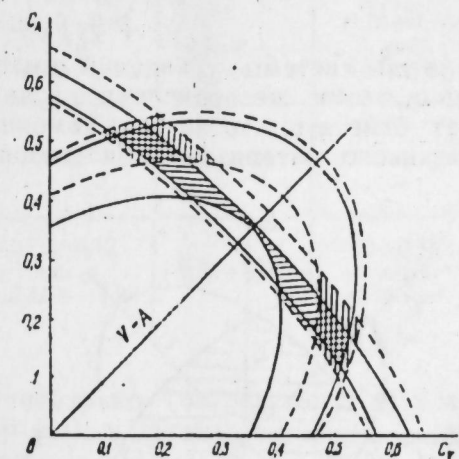


Рис. 2.

Как видно из рисунков, экспериментальные данные групп HPWF и CITF допускают $V-A$ -структурную нейтральную слабую токов ($c_V = c_A = f$) и приводят к ограничениям, данным в табл. 3.

Таблица 3

Группа	c_V	c_A	f	$\sin^2 \eta_W$
HPWF	$0,12 \div 0,57$	$0,12 \div 0,57$	$0,38 \div 0,41$	$0,26 \pm 0,06$
CITF	$0,12 \div 0,52$	$0,12 \div 0,52$	$0,35 \div 0,36$	$0,33 \pm 0,05$
CERN	$0,09 \div 0,29$ или $0,46 \div 0,54$	$0,46 \div 0,54$ или $0,09 \div 0,29$	—	$0,33 \pm 0,05$

Принимая во внимание приведенные в табл. 1 значения векторных и аксиальных констант НСТ в модели BC, легко видеть, что экспериментальные данные по изучению инклузивных процессов налагают на $\sin^2 \eta_W$ ограничения, которые также внесены в табл. 3. Отметим также, что рассматриваемые экспериментальные данные по R_v и $R_{\bar{v}}$ противоречат векторной модели.

Теперь рассмотрим следствия экспериментов по изучению рассеяния нейтрино и антинейтрино на электроне. Эксперименты по поиску процессов рассеяния мюонных нейтрино и антинейтрино на электроне, проведенные в ЦЕРНе в камере "Гаргамель", налагают следующие ограничения на сечение этих процессов [9, 10]:

$$\sigma(\bar{\nu}_\mu e) = (0,10^{+0,21}_{-0,09}) \cdot 10^{-41} (E_e/\Gamma_{\text{эф}}) \text{ см}^2, \quad (4)$$

$$\sigma(\nu_\mu e) < 0,26 \cdot 10^{-41} (E_e/\Gamma_{\text{эф}}) \text{ см}^2.$$

Таблица 4

Группа	g_V	g_A	f'	$\sin^2 \eta_W$	$\sin^2 \eta_V$
CERN	$-0,70 \pm 0,70$	$-0,70 \pm 0,70$	$0,13 \pm 0,39$ или $-0,39 \pm -0,13$	$0,1 \pm 0,4$	$0,16 \pm 0,43$ или $0,57 \pm 0,84$
AP	$0,01 \pm 0,91$ или $-0,91 \pm -0,01$	$-0,91 \pm -0,01$ или $0,01 \pm 0,91$	—	$0,58 \pm 0,09$	—
Reines et al.	$-2,30 \pm 0,30$	$-2,30 \pm 0,30$	$-0,12 \pm 0,12$ или $-2,1 \pm -1,88$	$0,35 \pm 0,07$	$0 \pm 0,18$ или $0,32 \pm 0,6$

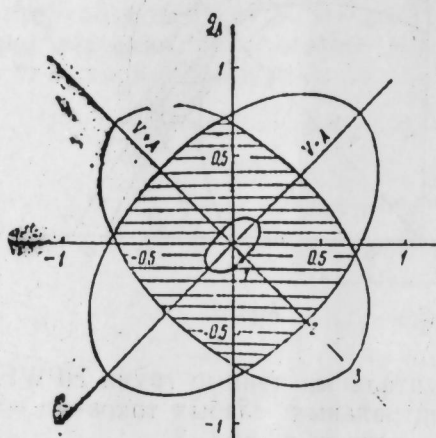


Рис. 3.

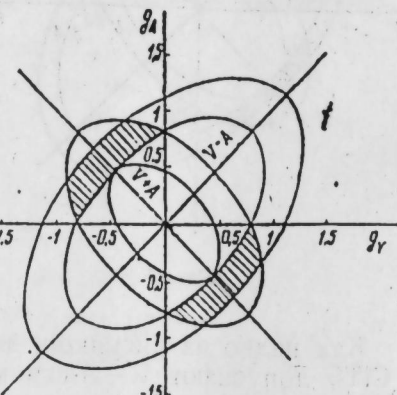


Рис. 4.

Экспериментальные условия (5) не противоречат предположению о V - A -структуре НСТ ($g_V = g_A = f'$), причем они приводят к ограничению

$$0,13 < f' < 0,39 \text{ или } -0,39 < f' < -0,13.$$

Область значений g_V и g_A , допустимых экспериментальными данными (5), изображена на рис. 3 (эллипсы 1 и 2 отвечают данным (5a), а эллипс 3—данным (5b)).

Относительно процессов рассеяния мюонных нейтрино и антинейтрино на электроне имеются также данные, полученные группой Aachen-Padova (AP) [12]:

$$\begin{aligned} \sigma(\bar{\nu}_e e) &= (0,54 \pm 0,17) \cdot 10^{-41} (E_{\bar{\nu}}/\Gamma_{\bar{\nu}\nu}) \text{ см}^2, \\ \sigma(\nu_e e) &= (0,24 \pm 0,12) \cdot 10^{-41} (E_{\nu}/\Gamma_{\nu\nu}) \text{ см}^2. \end{aligned} \quad (6)$$

Из экспериментальных данных (6) вытекает, что

$$\begin{aligned} g_V^2 - g_V g_A + g_A^2 &= 0,94 \pm 0,30, \\ g_V^2 + g_V g_A + g_A^2 &= 0,42 \pm 0,21. \end{aligned} \quad (7)$$

На рис. 4 изображена область значений g_V и g_A , удовлетворяющих соотношениям (7). Как видно, экспериментальные данные группы AP противоречат не только V - A -структуре НСТ, но и чистым V -и A -вариантам взаимодействия НСТ. Эти данные, однако, согласуются с V + A -вариантом.

Что касается процессов рассеяния электронного нейтрино и антинейтрино на электроне, то они должны идти за счет взаимодействия также заряженных слабых токов. Экспериментальные данные по-

поиску рассеяния электронного антинейтрино (от реактора) на электроне таковы [13] (см. также обзор [8]):

$$\sigma(\bar{\nu}_e e) = (0,47 \pm 0,14) \cdot 10^{-41} (E_{\bar{\nu}}/\Gamma_{\bar{\nu}\nu}) \text{ см}^2 \quad (1,5 \text{ МэВ} < E_{\bar{\nu}} < 3 \text{ МэВ}),$$

$$\sigma(\nu_e e) = (0,92 \pm 0,24) \cdot 10^{-41} (E_{\nu}/\Gamma_{\nu\nu}) \text{ см}^2 \quad (3 \text{ МэВ} < E_{\nu} < 4,5 \text{ МэВ}),$$

здесь E_{ν} —энергия электрона отдачи. В [12] эти данные усреднены и распространены на область высоких энергий. При этом автор приводит

$$\sigma(\bar{\nu}_e e) = (0,58 \pm 0,14) \cdot 10^{-41} (E_{\bar{\nu}}/\Gamma_{\bar{\nu}\nu}) \text{ см}^2. \quad (8)$$

В табл. 4 представлены области значений g_V и g_A , лежащих экспериментальными данными (5), (7) и (9). В нее также внесены ограничения на параметры теорий BC и V , вытекающие из указанных экспериментов.

В заключение авторы выражают благодарность Н. А. Гулиеву за обсуждение затронутых в статье вопросов.

Литература

- Hasert F. J. et al., Phys. Lett., B 46, 138, 1973.
- Венченати А. et al., Phys. Rev. Lett., 32, 800, 1974.
- Шехтер В. М., УФН, 119, 593, 1976.
- Weinberg S., Phys. Rev. Lett., 19, 1264, 1967; 27, 1688, 1971; Phys. Rev. D 5, 1412, 1972.
- Salam A., Proc. 8-th Nobel Symp., Stockholm, 1968, p. 376.
- De Rujula A., Georgi H., Glashow S. L., Phys. Rev. D 12, 3589, 1975.
- Smith J., Proc. XVIII Intern. Conf. on High Energy Phys., Tbilisi, 1976, part 11, p. B184.
- Gershtein S. S., Proc. XVIII Intern. Conf. on High Energy Phys., Tbilisi, 1976, part 11, p. B125.
- Hasert F. J. et al., Phys. Lett., B 46, 121, 1973.
- Billetschau J. et al., CERN (EP)PHYS 76-42, 1976.
- Гулиев Н. А., Джагаров И. Г., Халил-заде Ф. Т., Султанов С. Ф., Препринт № 51, ИФАН Азерб. ССР, Баку, 1976.
- Faissner H., Proc. XVIII Intern. Conf. on High Energy Phys., Tbilisi, 1976, part 11, p. B114.
- Reines F., Proc. Neutrino Conference, Aachen, 1976.

Поступило 30. V 1977

Институт физики

И. Н. Чәфәров, С. Ф. Султанов

НЕЙТРАЛ ЗӘИФ ЧӘРӘЈЛӘРЫН ГҮРУЛУШУНА ДАИР

Мәғаләдә нейтрино және антинейтринонын нуклонлардан инклүзив сәсилемәсін проселәринин өңрәнилмәсінә, нейтрино және антинейтринонын электрондан сәсилемәсі проселәринин ахтарылмасына даир мөвчүл тәрчүбі мәлumatлар нейтрал зәиф чәрәјләрдин үмуми (V, A)—гүрулушу бахымындан анализ едидмишdir. Гарышылығы тәсирин вектору және аксиял сабитләри үчүн мәндуудијәтләр алымышдыр.

I. G. Jafarov, S. F. Sultanov

ON THE QUESTION OF NEUTRAL WEAK CURRENTS' STRUCTURE

Recent experimental data on the study of neutrino and antineutrino inclusive scattering on the nucleons and the search for the processes of neutrino and antineutrino scattering on the electron have been considered from the point of common (V , A)—structure of neutral weak currents. The restrictions on the vector and axial constants of interaction have been obtained. The sequences of the above mentioned experiments in the cases of Weinberg—Salam model, vector model, ($V - A$)— and ($V + A$)—variants of the neutral weak currents are considered, too.

АЗЭРБАЙЧАН ССР ЕЛМЛЭР АКАДЕМИЯСЫНЫН МӘРУЗӘЛӘРИ

ДОКЛАДЫ АКАДЕМИИ НАУК АЗЕРБАЙДЖАНСКОЙ ССР

ТОМ XXXIII ЧИЛД

№ 10

1977

УДК 539.3

МЕХАНИКА

Акад. Ю. А. АМЕНЗАДЕ, ИБРАГИМ ЭЛЬТАХЕР МУХАММЕД МУХАММЕД

РАВНОВЕСИЕ БЕСКОНЕЧНОЙ УПРУГОЙ ПОЛОСЫ С
ЭКСЦЕНТРИЧЕСКИМ ЭЛЛИПТИЧЕСКИМ ОТВЕРСТИЕМ

В данной работе предложена методика решения указанной задачи. Решение сведено к бесконечной системе линейных уравнений относительно коэффициентов Фурье вспомогательной функции, введенной на эллипсе.

1. Рассмотрим бесконечную полосу шириной $2c$, симметричную относительно расположенным отверстием. Обозначим через S_0 область, заключенную внутри эллипса L_0 , а S_1 —область, составляющую часть полосы вне эллипса L_0 . Обход эллипса L_0 возьмем в направлении движения часовой стрелки. Оси координат x , y совместим соответственно с большой осью эллипса и ссыю полосы. Координаты центра эллипса $(d, 0)$. В удаленной части полосы действуют напряжения $\sigma_y^0 = \text{const}$, а по граням $x = \pm c$ —напряжения $\sigma_x^0 = \text{const}$. Будем считать, что граница эллипса L_0 свободна от внешних усилий.

Напряжения $\sigma_x^{(1)}$, $\sigma_{xy}^{(1)}$ и $\sigma_y^{(1)}$, возникающие в полосе, представим в виде

$$\sigma_x^{(1)} = \sigma_x^0 + \sigma_x; \quad \sigma_{xy}^{(1)} = \sigma_{xy}; \quad \sigma_y^{(1)} = \sigma_y^0 + \sigma_y \quad (1,1)$$

Здесь σ_x , σ_{xy} и σ_y —дополнительные напряжения, обусловленные наличием эллиптического отверстия. Для этих напряжений граничные условия будут

$$\sigma_x = \sigma_{xy} = \sigma_y = 0 \quad \text{при } y \rightarrow \pm \infty, \quad (1,2)$$

$$\sigma_x = \sigma_{xy} = 0 \quad \text{при } x = \pm c, \quad (1,3)$$

$$\sigma_x n_x + \sigma_{xy} n_y = -\sigma_x^0 n_x; \\ \sigma_{xy} n_x + \sigma_y n_y = -\sigma_y^0 n_y, \quad (1,4)$$

где n_x , n_y —косинусы углов нормали \bar{n} с осями координат.

На основании (1,4) потенциалы $\varphi_0(z)$ и $\psi_0(z)$, определяющие дополнительные напряжения σ_x , σ_{xy} и σ_y , должны удовлетворять условию на L_0

$$\varphi_0(t) + t\overline{\varphi_0(t)} + \overline{\psi_0(t)} = 2C_* - 2h_1t - 2h_2\bar{t}, \quad (1,5)$$

где $h_1 = \frac{1}{4}(\sigma_y^0 + \sigma_x^0)$, $h_2 = \frac{1}{4}(\sigma_y^0 - \sigma_x^0)$, C_* —постоянная.

Введем на L_0 функцию $\omega(t)$, определяемую из следующего соотношения

$$2\omega(t) = \varphi_0(t) - t\overline{\varphi_0(t)} - \psi_0(t) \quad (1.6)$$

Исходя из (1.5) и (1.6), а оснований свойств интегралов типа Коши и теоремы аналитического продолжения заключаем, что

$$\varphi(z) = \begin{cases} \varphi_0(z) - I_1(z), & z \in S_1 \\ -I_1(z) + h_1 z - C_*, & z \in S_0 \end{cases} \quad (1.7)$$

$$\psi(z) = \begin{cases} \psi_0(z) - I_2(z), & z \in S_1 \\ -I_2(z) + h_2 z - C_*, & z \in S_0, \end{cases} \quad (1.8)$$

где

$$I_1(z) = \frac{1}{2\pi i} \int_{L_\kappa} [\omega(t) - h_2 \bar{t}] \frac{dt}{t - z},$$

$$I_2(z) = -\frac{1}{2\pi i} \int_{L_\kappa} \left[\overline{\omega(t)} + \bar{t}\omega'(t) - h^2 \bar{t} \frac{dt}{at} \right] \frac{dt}{t - z} \quad (1.9)$$

являются регулярными функциями в сплошной полосе и определяют напряжения $\sigma_x^{(2)}$, $\sigma_{xy}^{(2)}$ и $\sigma_y^{(2)}$.

2. Воспроизведем функцию

$$\zeta = \frac{1}{2A} [z - d + \sqrt{(z-d)^2 - 4A^2}], \quad (2A = \sqrt{a^2 - b^2},$$

$$\rho = \sqrt{\frac{a+b}{a-b}}) \quad (2.1)$$

конформно отображающую внешность окружности радиуса ρ на внешность эллипса L_0 с полуосями a и b . Обратная ей функция будет

$$z - d = A(\zeta + \zeta^{-1}) \quad (2.2)$$

Функцию $\omega_*(t)$ на окружности γ представим в виде

$$\omega_*(t) = \omega(t(\tau)) = a_0 + \sum_{k=1}^{\infty} \left[c_k \left(\frac{\tau}{\rho} \right)^k + \beta_k \left(\frac{\rho}{\tau} \right)^k \right], \quad (2.3)$$

где c_k и β_k ($k = 1, 2, 3, \dots$) — неизвестные вещественные коэффициенты, a_0 — вообще говоря, комплексный коэффициент. Учитывая (2.2) и (2.3) в формулах (1.3), после ряда преобразований для $z \in S_1$ найдем

$$I_1^*(\zeta) = I_1(z(\zeta)) = \sum_{k=1}^{\infty} a_k \zeta^{-k}; \quad I_2^*(\zeta) = I_2(z(\zeta)) = \sum_{k=1}^{\infty} b_k \zeta^{-k}, \quad (2.4)$$

где

$$a_k = \rho^k c_k - \rho^{-k} \beta_k - H \delta_k,$$

$$b_k = (\rho^{-k} - k\rho^{k+2}) \beta_k - (\rho^k - k\rho^{-k-2}) c_k + \sum_{s=1}^k H_s^k s (\rho^s \beta_s - \rho^{-s} \sigma_s) - H_k,$$

$$H = abh_2/A, \quad H_{2k} = abh_2 d/A^2; \quad H_{2k+1} = ab(a^2 + b^2) h_2/2A^3,$$

$$H_s^k = \begin{cases} d/A, & s = 1, 3, 5, \dots \\ \rho^2 + \rho^{-2}, & s = 2, 4, 6, \dots \end{cases}$$

$$H_s^{2k-1} = \begin{cases} \rho^2 + \rho^{-2}, & s = 1, 3, 5, \dots \\ d/A, & s = 2, 4, 6, \dots \end{cases}$$

$$\delta_k = 0, \text{ если } k \neq 1, \quad \delta_1 = 1, \quad H_1 = 0 \quad (k = 1, 2, 3, \dots)$$

На основании формул (2.1) и (2.2) после ряда математических выкладок найдем

$$\zeta^{-k} = \sum_{s=0}^{\infty} (-1)^{s+k+1} M_{k, k+s} [2A/(z-d)]^{2s+k},$$

$$(|2A/(z-d)| < 1), \quad (2.5)$$

здесь

$$M_{k, k+s} = \sum_{v=0}^N C_k^{2v+1} C_{(2v+1)/2}^{k+s}; \quad N = \begin{cases} \kappa/2 - 1, & \kappa \text{ — четное} \\ (\kappa-1)/2, & \kappa \text{ — нечетное} \end{cases}$$

Исходя из (1.3), (1.7) и (1.8), найдем

$$\sigma_x^{(2)}(t) + i\sigma_{xy}^{(2)}(t) = -I_1(t) - \overline{I_1(t)} + t\overline{I_1(t)} +$$

$$+ \overline{I_2(t)}, \quad (t = \pm c + iy) \quad (2.6)$$

Из формул (2.4) и (2.5) имеем

$$I_1(z) = \sum_{n=1}^{\infty} P_n(z-d)^{-n}, \quad I_2(z) = \sum_{n=1}^{\infty} R_n(z-d)^{-n} \quad (2.7)$$

$$P_n = (2A)^n \sum_{k=2-\Delta}^n (-1)^{\frac{n+k}{2}+1} a_k M_{k, \frac{n+k}{2}}, \quad (2.8)$$

$$R_n = (2A)^n \sum_{k=2-\Delta}^n (-1)^{\frac{n+k}{2}+1} b_k M_{k, \frac{n+k}{2}},$$

$\Delta = 0$, когда n — четное; $\Delta = 1$, когда n — нечетное.

Учитывая выражение (2.7) в формуле (2.6), на гранях $t = \pm c + iy$, получим

$$\sigma_x^{(2)}(t) + i\sigma_{xy}^{(2)}(t) = \sum_{n=1}^{\infty} [P_n^*(t-d)^{-n-1} + R_n^*(\bar{t}-d)^{-n-1} +$$

$$+ (n+1) P_n^* t (\bar{t}-d)^{-n-2}], \quad (2.9)$$

где

$$P_n^* = n P_n, \quad R_n^* = n (P_n - R_n).$$

Последняя формула показывает, что при $t \rightarrow \pm \infty$, $\sigma_x^{(2)}(\pm \infty) = \sigma_{xy}^{(2)}(\pm \infty) = 0$ и напряжения $\sigma_x^{(2)}$ и $\sigma_{xy}^{(2)}$ на каждой из граней полосы самоуравновешаны.

3. Применяя интегральное преобразование Фурье к уравнениям равновесия и совместности деформаций, найдем

$$\frac{\partial^4 \bar{\sigma}_x^{(2)}}{\partial x^4} - 2i^2 \frac{\partial^2 \bar{\sigma}_x^{(2)}}{\partial x^2} + i^4 \bar{\sigma}_y^{(2)} = 0, \quad (3.1)$$

где

$$\bar{\sigma}_x^{(2)} = \frac{1}{\sqrt{2\pi}} \int_{-\infty}^{\infty} \sigma_x^{(2)}(x, y) e^{iy} dy; \quad \bar{\sigma}_y^{(2)} = -\frac{\partial^2 \bar{\sigma}_x^{(2)}}{\partial x^2} \Big| \lambda^2,$$

$$\bar{\sigma}_{xy}^{(2)} = \frac{\partial}{\partial x} \bar{\sigma}_x^{(2)} \Big| i\lambda.$$

Общее решение уравнения (3.1) имеет вид

$$\bar{\sigma}_x^{(2)}(x, \lambda) = [A_1(\lambda) + \lambda x B_1(\lambda)] \operatorname{ch} \lambda x +$$

$$+ [A_2(\lambda) + \lambda x B_2(\lambda)] \operatorname{sh} \lambda x, \quad (3.2)$$

$$i\bar{\sigma}_{xy}^{(2)}(x, \lambda) = [A_1 + B_2 + \lambda x B_1] \operatorname{sh} \lambda x + [A_2 + B_1 + \lambda x B_2] \operatorname{ch} \lambda x \quad (3.3)$$

$$\bar{\sigma}_y^{(2)}(x, \lambda) = -[A_1 + 2B_2 + \lambda x B_1] \operatorname{ch} \lambda x - [A_2 + 2B_1 + \lambda x B_2] \operatorname{sh} \lambda x \quad (3.4)$$

Из граничных условий на гранях полосы найдем

$$\begin{aligned} A_1 &= 2 [\bar{\sigma}_1^* (\operatorname{sh} \mu + \mu \operatorname{ch} \mu) - i \bar{\sigma}_2^* \mu \operatorname{ch} \mu] / (\operatorname{sh} 2\mu + 2\mu), \\ B_2 &= 2 [-\bar{\sigma}_1^* \operatorname{sh} \mu + i \bar{\sigma}_2^* \operatorname{ch} \mu] / (\operatorname{sh} 2\mu + 2\mu), \\ B_1 &= 2 [\bar{\sigma}_3^* \operatorname{ch} \mu - i \bar{\sigma}_4^* \operatorname{sh} \mu] / (2\mu - \operatorname{sh} 2\mu), \\ A_2 &= 2 [-\bar{\sigma}_3^* (\operatorname{ch} \mu + \mu \operatorname{sh} \mu) + i \bar{\sigma}_4^* \mu \operatorname{sh} \mu] / (2\mu - \operatorname{sh} 2\mu). \end{aligned} \quad (3.5)$$

Здесь

$$\begin{aligned} \bar{\sigma}_1^* &= \frac{1}{2} [\bar{\sigma}_x^{(2)}(c, \lambda) + \bar{\sigma}_x^{(2)}(-c, \lambda)], \quad \bar{\sigma}_2^* = \frac{1}{2} [\bar{\sigma}_{xy}^{(2)}(c, \lambda) - \bar{\sigma}_{xy}^{(2)}(-c, \lambda)], \\ \bar{\sigma}_3^* &= \frac{1}{2} [\bar{\sigma}_x^{(2)}(c, \lambda) - \bar{\sigma}_x^{(2)}(-c, \lambda)], \quad \bar{\sigma}_4^* = \frac{1}{2} [\bar{\sigma}_{xy}^{(2)}(c, \lambda) + \bar{\sigma}_{xy}^{(2)}(-c, \lambda)], \\ \mu &= i.c. \end{aligned}$$

На основании формул обращения Фурье из (3.2), (3.3), (3.4) и (3.5) следует

$$\begin{aligned} \bar{\sigma}_x^{(2)}(x, y) &= \frac{1}{\sqrt{2\pi c}} \left\{ L_1 + L_2 + \frac{z + \bar{z}}{2c} (L_5 + L_6) + \right. \\ &\quad \left. + \left[L_1 + L_2 + \frac{z + \bar{z}}{2c} (L_5 + L_6) \right] \right\}, \\ \bar{\sigma}_{xy}^{(2)}(x, y) &= \frac{-1}{\sqrt{2\pi c}} \left\{ L_1 + L_2 + L_3 + L_4 + \frac{z + \bar{z}}{2c} (L_5 + L_6) - \right. \\ &\quad \left. - \left[L_1 + L_2 + L_3 + L_4 + \frac{z + \bar{z}}{2c} (L_5 + L_6) \right] \right\}, \quad (3.6) \\ \bar{\sigma}_y^{(2)}(x, y) &= \frac{-1}{\sqrt{2\pi c}} \left\{ L_1 + L_2 + 2L_3 + 2L_4 + \right. \\ &\quad \left. + \frac{z + \bar{z}}{2c} (L_5 + L_6) + \left[L_1 + L_2 + 2L_3 + 2L_4 + \frac{z + \bar{z}}{2c} (L_5 + L_6) \right] \right\}, \end{aligned}$$

где

$$\begin{aligned} L_1 &= \int_0^\infty A_1 \operatorname{ch} \mu \frac{z}{c} d\mu, \quad L_2 = \int_0^\infty A_2 \operatorname{sh} \mu \frac{z}{c} d\mu, \quad L_3 = \int_0^\infty B_1 \operatorname{sh} \mu \frac{z}{c} d\mu, \\ L_4 &= \int_0^\infty B_2 \operatorname{ch} \mu \frac{z}{c} d\mu, \quad L_5 = \int_0^\infty B_1 \mu \operatorname{ch} \mu \frac{z}{c} d\mu, \quad L_6 = \int_0^\infty B_2 \mu \operatorname{sh} \mu \frac{z}{c} d\mu. \end{aligned}$$

Для приближенного вычисления интегралов L_j ($j = 1, 2, \dots, 6$) их ядра $2\mu/(\operatorname{sh} 2\mu + 2\mu)$ и $(2\mu)^3/(\operatorname{sh} 2\mu - 2\mu)$, следуя работам [2], [3], соответственно заменены функциями $(-3 \cdot 1\mu + 0 \cdot 5) \exp(-2 \cdot 8\mu) + 4\mu \exp(-2\mu)$ и $(32 \cdot 86\mu^2 + 16 \cdot 17\mu + 6) \exp(-3\mu) + 16\mu^3 \exp(-2\mu)$. Тогда мы имеем интегралы вида

$$\begin{aligned} &\int_0^\infty \frac{1}{\mu} \left(\frac{\mu}{c} \right)^k e^{-\mu(b_n \pm z/c)} d\mu, \quad \int_0^\infty [e^{-\mu(b_n + z/c)} - e^{-\mu(b_n - z/c)}] \frac{d\mu}{\mu}, \\ &\int_0^\infty [e^{-\mu(b_n + z/c)} + e^{-\mu(b_n - z/c)}] \frac{d\mu}{\mu}, \quad \int_0^\infty [e^{-\mu(b_n + z/c)} - e^{-\mu(b_n - z/c)}] \frac{d\mu}{\mu^2}. \end{aligned}$$

Первый из них вычисляется по частям, второй — на основании формул для интегралов Фруллани, а третий и четвертый — на основании свойств интегралов с параметрами.

4. Согласно формулам (3.6) и (3.7) получим

$$\begin{aligned} c\varphi'(z) &= \sum_{n=1}^{\infty} \sum_{j=0}^{\infty} \left\{ \Gamma_{n,j}^{(1)} \left[\left(a_n + \frac{z}{c} \right)^{-j-1} + \left(a_n - \frac{z}{c} \right)^{-j-1} \right] + \right. \\ &\quad \left. + \Gamma_{n,j}^{(2)} \left[\left(b_n + \frac{z}{c} \right)^{-j-1} - \left(b_n - \frac{z}{c} \right)^{-j-1} \right] \right\} + A_1^* \frac{z}{c} \ln \frac{b_6^2 - z^2/c^2}{b_2^2 - z^2/c^2} + \\ &\quad + A_2^* \frac{z}{c} \ln \frac{b_8^2 - z^2/c^2}{b_4^2 - z^2/c^2} + A_3^* \ln \frac{b_2 + z/c}{b_2 - z/c} + A_4^* \ln \frac{b_6 + z/c}{b_6 - z/c} + \\ &\quad + A_5^* \ln \frac{b_4 + z/c}{b_4 - z/c} + A_6^* \frac{b_8 + z/c}{b_8 - z/c}, \end{aligned} \quad (4.1)$$

$$\begin{aligned} c\psi'(z) &= \sum_{n=1}^{\infty} \sum_{j=0}^{\infty} \left\{ T_{n,j}^{(1)} \left[\left(a_n + \frac{z}{c} \right)^{-j-1} + \left(a_n - \frac{z}{c} \right)^{-j-1} \right] + \right. \\ &\quad \left. + T_{n,j}^{(2)} \left[\left(b_n + \frac{z}{c} \right)^{-j-1} - \left(b_n - \frac{z}{c} \right)^{-j-1} \right] \right\} + B_1^* \frac{z}{c} \ln \frac{b_6^2 - z^2/c^2}{b_2^2 - z^2/c^2} + \\ &\quad + B_2^* \frac{z}{c} \ln \frac{b_8^2 - z^2/c^2}{b_4^2 - z^2/c^2} + B_3^* \left(\ln \frac{b_2 + z/c}{b_2 - z/c} - \ln \frac{b_4 + z/c}{b_4 - z/c} + \right. \\ &\quad \left. + B_4^* \left(\ln \frac{b_6 + z/c}{b_6 - z/c} - \ln \frac{b_8 + z/c}{b_8 - z/c} \right) \right) \end{aligned} \quad (4.2)$$

Из (1.1), (1.2), (1.3), (2.3), (2.4) (4.1) и (4.2) после ряда преобразований построим бесконечную систему линейных уравнений относительно коэффициентов c_k , β_k

$$\sum_{k=1}^{\infty} [q_k(l) \beta_k + p_k(l) c_k] = f(l), \quad (l = 1, 2, 3, \dots) \quad (4.3)$$

Для коэффициентов $\Gamma_{n,j}^{(1)}$, $T_{n,j}^{(1)}$, A_1^* , B_1^* , a_1 , b_1 , $q_k(l)$, $p_k(l)$ и $f(l)$ получены соответствующие формулы.

Литература

- Мусхелишвили Н. И. Некоторые основные задачи математической теории упругости. «Наука». М., 1966.
- Мироненко Н. И. Чистый изгиб бесконечной полосы, симметрично ослабленной круговым отверстием. МИИ, № 1, 1972.
- Sneddon I. N. The elastic stresses produced in a thick plate by the application of pressure to its free surfaces. Proc. of the Camb. Phil. Soc. Vol. 42, Oct. 1946.

АГУ им. С. М. Кирова

Поступило 23. VI 1977

Ж. Э. Эмэнзадэ, Ибраһим Элтаһир Мәһәммәд Мәһәммәд

ЕКСЕНТРИК ЕЛЛИПТИК ДЕШИКЛИ СОНСУЗ ЗОЛАҒЫН ТАРАЗЛЫГЫ

Мәгаләдә көстәрилән мәсәләнниң һәллә metodikası verilipli. Bu мәсәләнниң һәллә еллипс үзәрindә дахил едилмиш көмәкчи функцияны Фурье әмсалларына нәзәрәп сонсуз хәтти тәннилекләр системинә кәтирилил.

Yu. A. Amenzade, I. E.-T. Mohammed

EQUILIBRIUM OF INFINITE STRIPE WITH AN ECCENTRIC ELLIPTIC HOLE

In this paper we have studied the stresses produced in an infinite elastic stripe with an eccentric elliptic hole by application of constant forces to stripe's edges.

Here we used the methods of theories of functions with complex variables and Forier's transformation.

УДК 622.242.4:530.145.6(026)

ПРИКЛАДНАЯ МЕХАНИКА

В. Г. САРКИСОВ, И. И. СЕМЕНОВА

О ДИНАМИЧЕСКОМ ВОЗДЕЙСТВИИ ВОЛН НА
ГИДРОТЕХНИЧЕСКИЕ СООРУЖЕНИЯ*(Представлено академиком АН Азербайджанской ССР А. Х. Мирзаджанзаде)*

Освоение нефтяных месторождений на больших глубинах моря связано с созданием гидротехнических сооружений, которые должны рассчитываться с учетом динамики волнового воздействия. В настоящее время еще не сложилось единого подхода к решению подобных задач. Существующие методы, основанные или на теории регулярных волн [1], или на представлениях статистической динамики и линейной спектральной теории волн [2], построены с учетом ряда предположений, которые существенно снижают точность решений и ограничивают возможность применения.

Приведенные в данной работе исследования основаны на групповых свойствах волн, которые присущи волнению различного типа (ветровое, зыбы, смешанное), интенсивности (штормовое, сильное, умеренное) и не зависят от размеров бассейна. Такой подход позволяет не только наиболее полно учесть особенности волнового воздействия, но и, используя богатый статистический материал, касающийся параметров волн, сделать общие выводы по динамике гидротехнических сооружений.

Волнение в работе рассматривается как двумерный неуставновившийся периодический процесс, в котором волны образуют группы, состоящие из постепенно возрастающих, а затем уменьшающихся по высоте волн, имеющих различные периоды и длины. Волнонаповерхность внутри группы представлена последовательностью регулярных волн, соотношением высот, периодов и длин, которые задаются согласно статистике [3]. Волновое давление каждой волны рассчитывается по СНиП [4].

Прочность и устойчивость гидротехнических сооружений исследуются при действии волн больших высот. Между наибольшими волнами последовательных групп при любом цикле проходит некоторое количество волн значительно меньшей высоты, которые фактически поглощают влияние на сооружение предшествовавших больших волн. Поэтому для выявления динамического эффекта достаточно изучить колебания сооружения за время прохождения одной группы волн, содержащей волну расчетной высоты.

Предполагаемым методом можно исследовать динамику гидротехнических сооружений, имеющих несколько рядов опорных колонн. В работе приведены формулы для двух рядов опорных колонн применитель о к сплошодъемным плавучим буровым установкам (СПБУ).

Колебания сооружения рассматриваются согласно общеизвестным представлениям, как колебание системы с одной степенью свободы. Волновая нагрузка на одну колонну задается опрокидывающим моментом M относительно пятки опорной колонны, равного сумме моментов от равнодействующих скоростной M_c и инерционной M_i составляющих волнового давления. С учетом изменения точки приложения равнодействующих опрокидывающий момент для i -ой волны группы записывается [4]:

$$M_i = A_1 h_1 (H_1 \delta_{ii} - \bar{z}_{Q_{ii}} \mu_{ii} \delta_{ii}) + A_2 h_1^2 (H_1 \delta_{ii} - \bar{z}_{Q_{ii}} \mu_{ii} \delta_{ii}) \quad (1)$$

$A_1 h_1$, $A_2 h_1^2$ —соответственно максимальные инерционная и скорость составляющие статической волновой нагрузки; $H_1 = H + h_{\text{зат}}$, где H —глубина моря, $h_{\text{зат}}$ —величина погружения опорных колонн в грунт; δ_{ii} , μ_{ii} , $\bar{z}_{Q_{ii}}$ зависят от фазы волны и представлены в виде:

$$\sum_j (a_j \sin 2\pi j t_1 + b_j \cos 2\pi j t_1), \quad t_1 = \frac{a_0}{\lambda_1} - \frac{i}{\tau_1}. \quad (2)$$

a_j , b_j определяются из соотношения (2) с соответствующими зависимостями [4]; a_0 —первоначальное положение вершины волны относительно оси первого ряда колонн; λ_1 —длина и τ_1 —период i -ой волны группы. Расчетами установлено, что с достаточной степенью точности можно ограничиться $j=2$.

Уравнение колебаний сооружения с двумя рядами опорных колонн записывается следующим образом:

$$\frac{d^2 x_1}{dt^2} + \frac{2\eta}{T} \frac{dx_1}{dt} + \frac{s}{m_{\text{пр}}} x_1 = M_{0i} + M_{1i} \sin 2\pi t_1 + M_{2i} \cos 2\pi t_1 + M_{3i} \sin 4\pi t_1 + M_{4i} \cos 4\pi t_1,$$

$$M_{0i} = A_2 h_1^2 \frac{n_1 + n_2}{m_{\text{пр}} e} (0,16 H_1 + 0,34 \lambda_1 \bar{z}_{Q_e}), \quad (3)$$

$$M_{1i} = A_{10} \left(n_1 + n_2 \cos 2\pi \frac{a_1}{\lambda_1} \right) - n_2 A_{1e} \sin 2\pi \frac{a_1}{\lambda_1},$$

$$M_{2i} = A_{20} \left(n_1 + n_2 \cos 4\pi \frac{a_1}{\lambda_1} \right) - n_2 A_{2e} \sin 4\pi \frac{a_1}{\lambda_1},$$

$$M_{3i} = A_{1e} \left(n_1 + n_2 \cos 2\pi \frac{a_1}{\lambda_1} \right) + n_2 A_{10} \sin 2\pi \frac{a_1}{\lambda_1},$$

$$M_{4i} = A_{2e} \left(n_1 + n_2 \cos 4\pi \frac{a_1}{\lambda_1} \right) + n_2 A_{20} \sin 4\pi \frac{a_1}{\lambda_1},$$

$$A_{10} = \frac{A_1 h_1}{m_{\text{пр}} e} (H_1 - 0,96 \lambda_1 \bar{z}_{Q_0}), \quad A_{20} = \frac{A_1 h_1}{m_{\text{пр}} e} (0,11 H_1 + 0,05 \lambda_1 \bar{z}_{Q_0}),$$

$$A_{1e} = \frac{A_2 h_1^2}{m_{\text{пр}} e} (0,54 H_1 - 1,32 \lambda_1 \bar{z}_{Q_e}), \quad A_{2e} = \frac{A_2 h_1^2}{m_{\text{пр}} e} (0,17 H_1 - 0,06 \lambda_1 \bar{z}_{Q_e}).$$

x_1 —отклонение сооружения от вертикального положения под действием i -ой волны группы; η —логарифмический декремент затухания; T —период собственных колебаний сооружения; $m_{\text{пр}}$ —приведенная масса сооружения; s —жесткость колонн; a_1 —расстояние между осями колонн первого и второго рядов; e —установленное расстояние от пятки опорной колонны до точки приложения результирующей вол-

нового давления; n_1 , n_2 —соответственно число опорных колонн в первом и втором рядах.

Решение уравнения (3) записывается:

$$\ddot{x}_l = \frac{M_{l \max}}{se} \left[M_{0l} + B_{1l} e^{-\frac{t}{T}} \sin \left(2\pi \frac{t}{T} + \varphi_l \right) + A_{1l} \sin 2\pi t_l + A_{2l} \cos 2\pi t_l + B_{2l} \sin 4\pi t_l + B_{3l} \cos 4\pi t_l \right], \quad (4)$$

$$A_{1l} = \frac{(1-\delta_l^2) M_{0l} - \frac{1}{\pi} \delta_l \sqrt{M_{2l}}}{(1-\delta_l^2)^2 + \frac{1}{\pi^2} \delta_l^2 v^2}; \quad B_{1l} = \frac{(1-4\delta_l^2) M_{3l} - \frac{2}{\pi} \delta_l \sqrt{M_{4l}}}{(1-4\delta_l^2)^2 + \frac{4}{\pi^2} \delta_l^2 v^2}$$

$$A_{2l} = \frac{(1-\delta_l^2) M_{2l} + \frac{1}{\pi} \delta_l \sqrt{M_{0l}}}{(1-\delta_l^2)^2 + \frac{1}{\pi^2} \delta_l^2 v^2}; \quad B_{2l} = \frac{(1-4\delta_l^2) M_{4l} + \frac{2}{\pi} \delta_l \sqrt{M_{3l}}}{(1-4\delta_l^2)^2 + \frac{4}{\pi^2} \delta_l^2 v^2}$$

B_{1l} , B_{2l} —произвольные постоянные, определяемые из граничных условий; $\delta_l = \frac{T}{\tau_l}$; $M_{l \max}$ —максимальный спрокидывающий момент от статической нагрузки l -ой волны группы.

$T=10c$	$h_{l,m}$	9	10	11	12	11	10	9			
	$\tau_{l,c}$	10	10	10	10	10	10	10			
	κ_g	0,9	1,7	2,5	3,4	4,0	4,3	4,3			
$T=10c$	$h_{l,m}$	9	10	11	12	11	10	9			
	$\tau_{l,c}$	8,5	9,0	9,5	10	9,5	9,0	8,5			
	κ_g	0	1,6	2,7	3,4	2,7	2,5	2,4			
$T=10c$	$h_{l,m}$	1	4	7	12	7	4	1			
	$\tau_{l,c}$	8,5	9,0	9,5	10	9,5	9,0	8,5			
	κ_g	0	0,2	0,7	2,1	1,7	1,8	0			
$T=\pi c$	$h_{l,m}$	1	4	7	12	7	4	1			
	$\tau_{l,c}$	8,5	9,0	9,5	10	9,5	9,0	8,5			
	κ_g	0	0,2	0,6	1,0	1,4	1,2	1,0			
$T=10c$	$h_{l,m}$	7	8,5	10	11	11,5	12	12	11,5	11	10
	$\tau_{l,c}$	8,5	9,0	9,5	10	10,5	11	11	10,5	10	9,5
	κ_g	0,4	1,1	2,4	3,0	2,3	2,2	1,3	2,5	2,7	2,0

Колебания сооружения под действием группы волн описываются системой уравнений (4), в которых произвольные постоянные B_{1l} , B_{2l} последовательно определяются из условий на границе двух смежных волн: $x_l = x_{l+1}$, $\frac{dx_l}{dt} = \frac{dx_{l+1}}{dt}$.

Динамический эффект при действии l -ой волны группы учитывается коэффициентом динамичности κ_g , который определяется как

отношение динамической нагрузки при действии этой волны к наибольшей статической для данной группы волн

$$\kappa_g = \frac{s/x_{l \max}}{M_{l \max}}$$

В работе рассмотрены колебания СПБУ на четырех опорах типа "Бакы" при стоянке на точке бурения в наиболее тяжелых условиях, когда все высоты волн группы близки к расчетной высоте (максимальная высота для Каспийского моря), а периоды—к периодам собственных колебаний сооружения. Рассчитаны κ_g для групп с максимально возможным числом волн (12 волн) и с числом волн наиболее вероятным (7 волн). Параметры волн заданы согласно рекомендации Регистра СССР [3]: изменение периодов последовательных волн равно примерно 5%, а высот $h_i = 40\%$; $\lambda_i = \lambda_{ep} = 120$ м; $a_0 = \frac{\lambda_{ep}}{4}$.

Значения параметров волн и κ_g приведены в таблице.

Выводы

1. Проведенные исследования показали, что динамику гидroteхнических сооружений целесообразно строить, опираясь на групповые свойства волн.

2. Разработанный метод позволяет рассчитывать волновые нагрузки на сооружения, период собственных колебаний которых близок к среднему периоду волн ($0,8 < \delta_l < 1,2$ —резонансная область).

3. Сравнительно небольшие изменения периодов последовательно идущих волн, не имеющие практического значения при расчете сооружений вне резонансной области ($\delta_l < 0,8$; $\delta_l > 1,2$), существенно влияют, как видно из таблицы, на величину волнового давления в резонансной области.

Литература

- Алагусейнов Ю.А., Вишневская Э.Л., Саркисов В.Г., Семёнова И.И. Определение коэффициентов для расчета волновых нагрузок на гидroteхнические сооружения. "Азэрб. нефт. хоз-во", 4, 1975.
- Лужин О.В., Каспарсон А.А., Халфин И.Ш. и др. Усовершенствование методов расчета морских оснований на воздействие ветровых волн. Ж. "Нефтепромысловое строительство", 1974, 12, 3. Регистр СССР. Ветер и волны в океанах и морях. Справочные данные. Изд-во "Транснефть", Л., 1977, 4. СНиП II-57-75. Нагрузки и воздействия на гидroteхнические сооружения (волновые, ледовые и от судов). Стройиздат, 1970.

ИИИИ. Гипроморнефть

Поступило 28. V 1977

В. Г. Саркисов, И. И. Семёнова
ДАЛГАЛАРЫН ҮЙДРОТЕХНИК ГҮРГУЛАРА ДИНАМИК
ТӘСИРИ ҮАГТЫНДА

Мәғаледе үйдroteхники гүргуларын динамик һесабы методу вернишилди. Мүөлдөн олумушшудар ки, даярдан омала колен гүйвөнниң оңазлајчишинин тә'сир етди. Иогтениң јердеңнинеси һөтә нөзәре алына маңа дәрәчәдә дејишиңди, набада даярлының үндүрүлүгүнүң жаңы периодунун чүзи дејишиңдеси динамик түкүн резонанс зонасындакы дејишиклиниң гат-гат артмасына себеб олур.

В. Г. Sarkisov, I. I. Semyonova

TO THE DYNAMIC INFLUENCE OF THE WAVE ON THE HYDROTECHNICAL STRUCTURES

This paper relates to the method of the dynamic calculation of the hydrotechnical structures, based on the group properties of the swell, and this method allows to estimate wave loads in the resonance region. It has been established, that change in the wave pressure resultant point, and also even a small change in the wave periods and wave height influence essentially the dynamic load in the resonance region.

УДК 577.3

БИОФИЗИКА

Х. М. КАСУМОВ, А. Ф. КОЖОКАРУ, В. В. ПЕРЕЛЫГИН,
Ш. В. МАМЕДОВ

ИССЛЕДОВАНИЕ ДЕЙСТВИЯ ОРГАНИЧЕСКИХ СОЕДИНЕНИЙ
СЕЛЕНА НА ДЫХАТЕЛЬНУЮ ЦЕПЬ МИТОХОНДРИЙ

(Представлено академиком АН Азербайджанской ССР Г. Г. Гасановым)

Анализируя существующие аспекты действия селена на живые структуры, можно сделать заключение, что соединения селена участвуют во многих звеньях биологического окисления [1]. В этом отношении хотелось бы обратить внимание на связь селена с ферментами: включение в активные центры и действие на ряд гликокарбоновых и дыхательных ферментов [2]. В связи с этим вызывает интерес гипотеза Диплока [3] о включении селена в дыхательную цепь клеточных мембран. Действительно, как было показано в предыдущей статье [4], селенит истрия действует на фосфорилирующий путь окисления в митохондриях. Цель настоящей работы — дальнейшее исследование действия органических соединений селена (водорастворимых и жирорастворимых) на фосфорилирующий путь окисления в сопрягающих мембранах митохондрий.

МЕТОДИКА

Митохондрии выделяли из печени крыс линии Вистар методом дифференциального центрифугирования [5] с модификациями Молосова и др. [6]. Подробно методика описана в предыдущей статье [4]. Густую суспензию митохондрий разбавляли из расчета 0,1 мл среди выделения на 1 г печени и хранили в пробирке, погруженнной в льюар со льдом. Методом Лоури [7] определяли содержание белка в суспензии. В опыте использовались митохондрии, содержащие 60–70 мг/мл белка. Состояние митохондрий оценивали по активности поглощения кислорода, фосфорилирующей способности, величине дыхательного контроля по Ларди и Чансу [8,9]. Полярографическим методом, с использованием врачающегося платинового электрода измеряли скорость поглощения кислорода при окислении митохондрий теми или иными субстратами. Скорость дыхания митохондрий в норме принципиально не менялась за 100%. Ток насыщения достигался при потенциале 600 мВ на платиновом электроде. Исследования проводились в герметической ячейке объемом 1 мл при комнатной температуре в среде сле-

Формулы и названия исследованных соединений

№ п/п	Формула	Название
1		1-метокси, 2-окси, 3-фенилселенопропан
2		1,2-ацилкеталь, 3-фенилселенопропан
3		1,2-дикси, 3-фенилселенопропан
4		1, N,N-диэтиламино, 2-окси-3-фенилселенопропан
5		[1-Н-фениламин, 2-окси-3-фенилселенопропил] гидрохлорид
6		[1-(4-пиперидино)-2-окси-3-фенилселенопропил] гидрохлорид

дующего состава: 20 мМ трис-HCl, 300 мМ сахарозы, 25 мМ KCl, 5 мМ K₂HPO₄, 1 мМ этилендиаминтетраакетата (ЭДТА) при добавлении различных субстратов и ингибиторов. В качестве субстратов были использованы: 8·10⁻³М сукцината, 8·10⁻²М малата, 8·10⁻³М пирувата и 4·10⁻³М аскорбата. В качестве ингибиторов дыхания использовались следующие соединения: 2·10⁻⁷М ротенона, 5·10⁻³М малоната, 2·10⁻⁶М антибиотика А и цианида калия. Исследуемые вещества приведены в таблице.

РЕЗУЛЬТАТЫ И ОБСУЖДЕНИЕ

Водорастворимые соединения селена (ВСС) оказались слабоэффективными в изменении скорости дыхания митохондрий (рис. 1). Максимальная скорость дыхания достигала 110–130% по отношению к исходной, принятой за 100%.

В отличие от ВСС жирорастворимые соединения селена (ЖСС) оказались намного эффективнее. Зависимость относительной скорости дыхания митохондрий от концентрации исследуемых соединений, показана на рис. 2. Как видно из рисунка, с увеличением концентра-

ции вещества происходит ускорение дыхания митохондрий, затем достигает максимума, а при дальнейшем увеличении концентрации наблюдается резкое ингибирование дыхания (рис. 2, кр. 1). Максимальная скорость дыхания достигает величины 280–340% в зависимости от типа исследуемых веществ.

По своему характеру эти соединения можно было отнести к классическим разобщителям окислительного фосфорилирования (динитрофенол [10], 2,2'-диокси-3,5, 3',5'-дихлордифенилсульфоксид (ГХСО) [11]). Известно, что разобщители увеличивают проницаемость плоских липидных мембран для ионов H^+ [10, 11]. Можно было думать, что эти соединения будут также эффективны в переносе протонов через искусственные фосфолипидные мембранны. Однако эксперименты на бислойных мембранных показали, что ни один из исследуемых веществ не увеличивал проводимость мембран, полученных из фосфолипидов бычьего мозга. Однако не исключено, что ЖСС могут быть эффективнее на фосфолипидных мембранных, выделенных из митохондрий печени крыс или сердца быка. Этот вопрос в настоящее время исследуется. Очевидно, что агенты, минуя липидные мембранны, не будут влиять на искусственные мембранны, моделирующие только фосфолипидные участки природных мембран [12]. Исходя из этого мы предположили, что основное действие соединений селена должно определяться взаимодействием их с ферментами, локализованными в дыхательной цепи митохондрий. С этой целью исследовалось действие органических соединений селена на дыхание митохондрий в присутствии различных субстратов. Наиболеещий эффект был получен в среде митохондрий, субстратом которого является сукцинат (янтарная кислота). Янтарная кислота—единственный субстрат в цикле Кребса, способный почти полностью восстанавливать митохондриальный НАД [13]. Кинетику поглощения кислорода митохондриями в присутствии 1-метокси, 2-окси, 3-фенилселенопропан и 1,2-диокси, 3-фенилселенопропан наглядно демонстрирует рис. 3. На фоне максимальной скорости дыхания, вызванной действием этих соединений, наблюдается резкое ингибирование дыхания при добавлении ГХСО.

В присутствии других субстратов малоната и пирувата или аскорбата и ТМФД (тетраметилпирафенилдендиамин) ЖСС оказывали слабое или вовсе не оказывали действия. Это, возможно, говорит о том, что основное действие этих соединений направлено на 4-й пункт окислительного фосфорилирования, а именно: между НАД и цитохромом b. Для того, чтобы показать правильность этого предположения мы использовались специфическими блокаторами, ингибирующими 1,2 и 3 пункты сопряжения в дыхательной цепи митохондрий: ротенон в качестве ингибитора переноса электронов от НАД к цитохрому c;

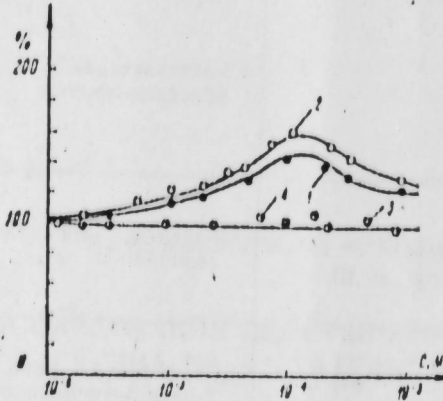


Рис. 1. Зависимость относительной скорости дыхания митохондрий от концентрации водорасстворимых соединений селена: 1, 3—[1-(4-нитеридино-2-окси-3-фенилселенопропан] гидрохлорид 2, 4—[1-N-фениламино, 2-окси-3-фенилселенопропан] гидрохлорид. Кр. 3, 4 получены в среде с сукцинатом- β -ротеноном. Концентрации субстрата и ротенона указаны в методике.

выделенный из штамма *Streptomyces* антибиотик антимицин A, блокирующий перенос электронов от цитохрома b к цитохрому c; цианиды,

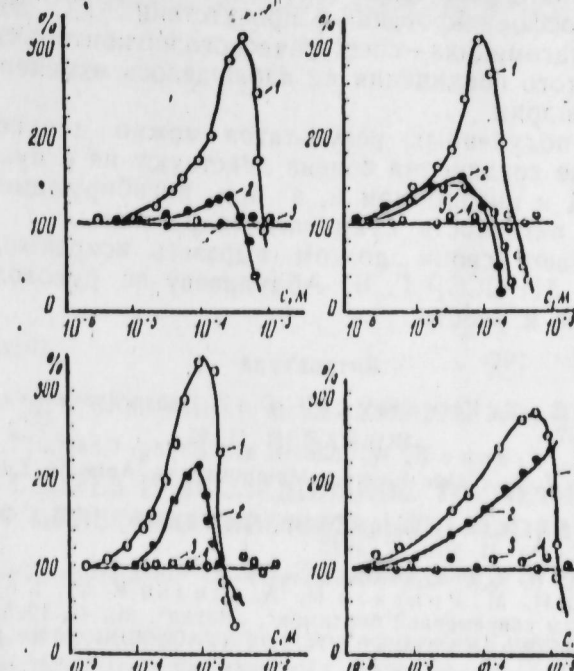


Рис. 2. Зависимость относительной скорости дыхания митохондрий от концентрации водорасстворимых соединений селена (соединения 1, 2, 3, 4 из табл. 1). Кр. 1 были получены в общей среде инкубации митохондрий, содержащей только сукцинат; кр. 2—в среде с сукцинатом- β -ротеноном; кр. 3—в среде с малонатом и пируватом; кр. 4—в среде с аскорбатом и ТМФД. Концентрации субстратов указаны в методике.

блокирующие конечную стадию процесса переноса электронов на уровне цитохромов a- β - α и, наконец, малоната, который вызывает резкое окисление пиридинукулеотидов в присутствии сукцината. Малонат является конкурентным ингибитором сукцинатдегидрогеназы. Он тормозит не только образование богатых энергией соединений, но и поток электронов от сукцината к НАД. Эксперименты показали, что в среде с сукцинатом на фоне антимицина A, цианида калия и малоната ЖСС не оказали никакого действия на скорость поглощения кислорода митохондриями. В системе сукцината с ротеноном максимальная

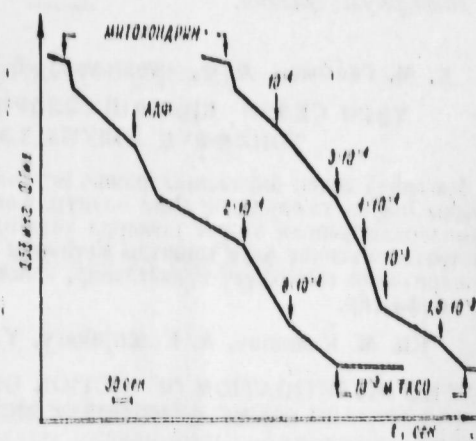


Рис. 3. Кинетика поглощения кислорода митохондриями. Стрелками отмечены момент добавления исследуемых веществ. Кр. 1 получена с 1,2-диокси, 3-фенилселенопропаном, а кр. 2—присутствии 1-метокси, 2-окси, 3-фенилселенопропаном в среде общего состава с сукцинатом.

скорость дыхания достигала величины 130—240% по сравнению с 280—340% в среде без ротенона.

Основная дыхательная цепь митохондрий может катализировать окисление без фосфорилирования в присутствии ЖСС. Это было видно на примере олигомицина—специфического ингибитора синтеза АТФ. В присутствии этого соединения не наблюдалось изменения скорости дыхания митохондрий.

Исходя из полученных результатов можно предположить, что жирорастворимые соединения селена действуют на 4 пункт сопряжения между НАД и цитохромом b, а при ингибирующих концентрациях подавляет активность сукцинатдегидрогеназы.

Авторы считают своим долгом выразить искреннюю благодарность чл.-корр. АН ССР Г. Б. Абдуллаеву за руководство и постоянное внимание к работе.

Литература

1. Ермаков В. В., Копальский В. В. Биологическое значение селена. «Наука», М., 250, 1974.
2. Moxon A. L., Franke K. W. Industr. and Enyng. Chem., 27, 77, 1935.
3. Diplock A. T. In Trace Element Metabolism in Animals. Edinburgh-London, 1970.
4. Абдуллаев Г. Б., Касумов Х. М., Мамедов Ш. В., Фойгель А. Г. ДАН АН Азерб. ССР, 31, №10, 7, 1975.
5. Schnelder W. J. Biol. Chem., 176, 250, 1948.
6. Мосолова И. М., Горская И. А., Шольц К. Ф., Котельникова А. В. В сб.: «Методы современной биохимии». «Наука», М., 45, 1975.
7. Lowry O. H., Rosebrough N. J., Farr A. L., Randall R. J. J. Biol. Chem., 193, 265, 1951.
8. Lardy H. C., Wellman H. J. Biol. Chem., 195, 215, 1952.
9. Chance B., Hollunger G. J. Amer. Chem. Soc., 79, 2970, 1957.
10. Lieberman E. A., Torrell V. P., Tsoufina L. M., Yasaitis A. A., Skulachev V. P. Nature, 222, 1076, 1969.
11. Кошокару А. Ф., Топалин В. П., Фойгель А. Г. В сб.: «Биология и научно-технический прогресс». Пущино, стр. 198, 1974.
12. Скулачев В. П. Трансформация энергии в биомембранах. «Наука», М., 49, 1972.
13. Chance B., Magdaleno B. J. Biol. Chem., 237, 3540, 1962.
14. Ленинджер А. «Биохимия». «Мир», М., 441, 1976.
15. Виноградов А. Д. Канд. дисс. М., 1968.

Институт физики,

Поступило 30. III 1977

Х. М. Гасымов, А. Ф. Кошокару, В. В. Перелькин, Ш. В. Мамедов

УЗВИ СЕЛЕН БИРЛЭШМƏЛƏРИНИННИ МИТОХОНДРИЛƏРИННИ ТӘНӘФФҮС ЙОЛУНА ТӘ'СИРИНИННИ ТӘДГИГИ

Мәгәләдә селен бирлешмәләрининни митохондриләрда оксидашмәнни фосфорлаштырычыннан йолуна тә'сириндән бәйс олуунр. Көстәрләмешидир ки, суда нәдел олан бирлешмәләрдән фәргли оларaq яғаларда нәдел олан бирлешмәләр даһа эффектләнди. Субстраты сукцинат олар мүһиттә 10^{-6} -дан 10^{-4} M-лек кими концентрасијаларда митохондриләрни тәнәффүс гүышетләнди, концентрасијанын артмасы ила тәнәффүс каскын занфләйди.

Х. М. Гасымов, А. Ф. Кошокару, В. В. Перелькин, Ш. В. Мамедов

THE INVESTIGATION OF ACTION ORGANIC SELENIUM COMPOUNDS ON MITOCHONDRIA RESPIRATORY CHAIN

Selenium compounds influence on the phosphorylating path of oxidation in mitochondria. In contrast to water-soluble compounds, fat-soluble selenium compounds (PSSC) appear to be much more effective. In medium, the substrate of which is succinate, PSSC at concentration from 10^{-6} — 10^{-4} M accelerate the respiration of mitochondria, and with the increasing of concentration lead to the inhibition of respiration. We suggest from our data that PSSC act on the 3 point of coupling between NAD and cytochrome b but at inhibiting concentrations suppress the activity of succinatehydrogenase.

АЗӘРБАЙЧАН ССР ЕЛМЛӘР АКАДЕМИЯСЫНЫН МӘРУЗӘЛӘРИ

ДОКЛАДЫ АКАДЕМИИ НАУК АЗЕРБАЙДЖАНСКОЙ ССР

ТОМ XXXIII ЧИЛД

№ 10

1977

УДК 538.113.574.244

ОРГАНИЧЕСКАЯ ХИМИЯ

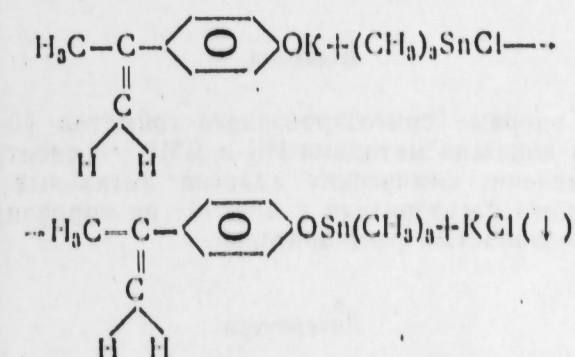
К. Г. ГАСАНОВ, С. М. АЛИЕВ, В. С. АХМЕДОВ, Р. А. ДЖАФАРОВА,
М. М. ИСМАИЛОВ

СИНТЕЗ И ИССЛЕДОВАНИЕ ТРИМЕТИЛ (n-ИЗОПРОПЕНИЛФЕНОКСИ) ОЛОВА

(Представлено академиком АН Азербайджанской ССР С. Д. Мехтиевым)

Известно, что оловоорганические соединения широко применяются в синтезе и переработке полимерных материалов [1]. В связи с этим представляют интерес получение ряда алкилоловияных ароматических соединений, являющихся полиреакционными полифункциональными мономерами, которые в свою очередь, могут быть использованы для синтеза ценных полиреакционных олигомеров. Ряд работ последних лет свидетельствует о том, что спектроскопии ИК-и ЯМР ЧН становятся весьма перспективными методами изучения оловоорганических соединений [2—4]. Настоящее сообщение посвящено обсуждению этих вопросов.

Для синтеза триметил (n-изопропенилфенокси) олова использовали реакцию между триметилоловохлоридом и соответствующим фенолятом по схеме:



Строение триметил (n-изопропенилфенокси) олова подтверждено спектральными методами. ЯМР-спектр указанного соединения состоит из следующих групп сигналов резонансного поглощения: протонов метильных групп, связанные с атомом олова, характеризуются синглетным сигналом при $\delta = 0,4$ м. д. (в растворе CCl_4). Помимо этого, в результате спин-спинового взаимодействия метильных протонов с изотопами ^{117}Sn и ^{119}Sn вокруг их основного сигнала наблюдается два симметрично расположенных дублета (спутника) небольшой интенсивности.

Протоны бензольного кольца образуют A_2B_2 -спиновую систему и на спектре наблюдается четкий квадруплет, описывающий их резонанс в области $\delta = 6,95$ м. д., $J = 14,0$ Гц. Малоинтенсивные синглеты с химическими сдвигами $\delta = 4,9$ и $\delta = 5,1$ м. д. относятся к протонам $=\text{CH}_2$ групп. Синглетный сигнал в сильнопольной части спектра ($\delta = 2,1$ м. д.) относится к метильной группе изопропенильного радикала. Интегральная кривая полностью подтверждает правильность структуры.

Химический сдвиг метильных протонов в триметил (*p*-изопропенилфенокси) олова измеренных в CCl_4 , C_6H_6 , ацетоне и пиридине равен: 0,4; 0, 11; 0,45 и 0,13 м. д., соответственно. Эти данные указывают на отсутствие какого-либо соответствия между экранированием метильных протонов и сольватирующей способностью растворителей.

В ИК-спектре триметил (*p*-изопропенилфенокси) олова наблюдается исчезновение полос поглощения гидроксила и появление двух пиков в области 550 и 535 cm^{-1} , характеризующие Sn—C-связь.

Использованию констант $J^{117(119)} \text{Sn}-\text{C}-^1\text{H}$ при рассмотрении сольватации производных фенокситриметилола, а также использование последних в синтезе полиреакционных олигомеров, будет посвящено специальное сообщение.

ЭКСПЕРИМЕНТАЛЬНАЯ ЧАСТЬ

К бензольному раствору *p*-изопропенилфенолята калия (приготовленному из 0,67 г *p*-изопропенилфенола, 0,23 г KOH и 50 мл абс. бензола) при перемешивании и нагревании (до 40°C) в аргоне добавляли бензольный раствор 0,005 M (0,99 г) триметилолово хлорида. После 2 ч перемешивания при комнатной температуре содержимое реакционной колбы пропускали через фильтр и затем растворитель отгоняли на роторном испарителе. Кристаллическую массу экстрагировали петролейным эфирем. Получено 0,9 г триметил (*p*-изопропенилфенокси) олова, т. пл. 127°C (*n*-пентан).

Измерение химических сдвигов выполнено на спектрометре "Варик" Т-60. В качестве эталона использован тетраметилсиликат (TMS), а в качестве растворителя CCl_4 . Точность измерений химических сдвигов $\pm 0,01$ м. д.

Выводы

Структура, впервые синтезированного триметил (*p*-изопропенилфенокси) олова доказана методами ИК-и ЯМР ^1H спектроскопии. Показано, что изменение химических сдвигов метильных протонов при переходе от одного растворителя к другому не коррелируется с сольватирующей способностью растворителей.

Литература

1. Кочешков К. А., Землянский Н. Н., Шевердина Н. И., Панов Е. М. Методы элементоорганической химии. Изд-во "Наука". М., 1968. 2. Федоров Л. А., Калинина В. Н., Гасанов К. Г., Захаркин Л. И. ЖОХ АН СССР, т. XLV (CVII), 591, 1975. 3. Федоров Л. А., Кравцов Д. Н., Перегудов А. С., Федин Э. И., Роклина Е. М. Изв. АН СССР, серия хим., 8, 1705, 1971.
4. Okawara Rokuro. Bull. Chem. Soc. Japan, 49, 1555, 1967.

ИНХП

Поступило 10. VI 1977

К. Г. Гасанов, С. М. Алиев, В. С. Эймадов, Р. Э. Чәфәрова,
М. М. Исмаилов

УЧМЕТИЛ *p*-ИЗОПРОПЕНИЛФЕНОКСИ ГАЛАЙЫН СИНТЕЗИ ВӘ ТӘДГИГИ

Мәгарәдә учметил *p*-изопропенилфенокси галајын алымда үсулу вә онун ЯМР методу илэ тәдгиги көстәрилмишdir.

Мүэjjән едилмишdir ки, нәмин маддәнинмолекулундакы метил протонлары үзви һәлледичиләрдә мұхтәлиф чүр экранлашыр.

K. G. Gasanov, S. M. Aliev, V. S. Akhmedov, R. A. Dzhafarova,
M. M. Ismailov

SYNTHESIS AND STUDY OF STANNIC TRIMETHYL (*p*-ISOPROPENYL PHENOXY)

This article presents the results of synthesis and study of stannic trimethyl (*p*-isopropenyl phenoxy).

Chemical shifts of methyl protons have been shown to be shielded differently with the increasing of solvent solvating property.

УДК 511. 15

ФИЗИЧЕСКАЯ ХИМИЯЧл.-корр. М. А. МАРДАНОВ, А. П. МАМЕДОВ, В. Р. МАРДУХАЕВ,
М. А. НАДЖАФОВА, Э. Ю. САЛАЕВ**СПЕКТРЫ ЭПР-ЦЕНТРОВ, ИНДУЦИРОВАННЫХ ИОНИЗИРУЮЩИМ ИЗЛУЧЕНИЕМ В НЕКОТОРЫХ ХЛОРИДАХ АЛКИЛАММОНИЯ.**

Галогениды алкиламмония являются соединениями, имеющими определенную аналогию как с аммонийногалоидными и щелочногалоидными кристаллами (случай малой длины алкильной цепи), так и с нормальными парафиновыми углеводородами (случай большой длины алкильной цепи). Однако несмотря на такую аналогию, процессы, происходящие под действием ионизирующего излучения в галогенидах алкиламмония, в отличие от щелочногалоидных кристаллов и нормальных парафинов [1, 2] изучены несравненно мало. Кроме того, изучение природы продуктов действия ионизирующих излучений в этих соединениях, являющихся модельными для многих органических соединений, имеющих более сложную структуру, имеет самостоятельное значение, связанное с проблемой радиационной стойкости материалов.

В последние годы на основе галогенидов алкиламмония получены кристаллофосфоры [3], которые проявили свойства, близкие к щелочногалоидным и аммонийногалоидным кристаллофосфорам, относительно внутрицентровой люминесценции, но рекомбинационная люминесценция в них оказалась существенно отличной от щелочногалоидных кристаллов [4]. Для выяснения механизма этих свечений целесообразно изучение природы центров, возникающих под действием ионизирующих излучений в алкиламмонийногалоидных кристаллах.

Одним из наиболее эффективных методов исследования индуцированных центров являются методы оптической спектроскопии и ЭПР. В настоящей работе приводятся результаты исследования облученных ионизирующим излучением хлоридов метилзамещенных $C_nH_{2n+1}NH_3Cl$ и метилзамещенных аммония $(CH_3)_nNH_{4-n}Cl$ (где $n=1 \div 4$) методом ЭПР.

ЭКСПЕРИМЕНТАЛЬНАЯ ЧАСТЬ

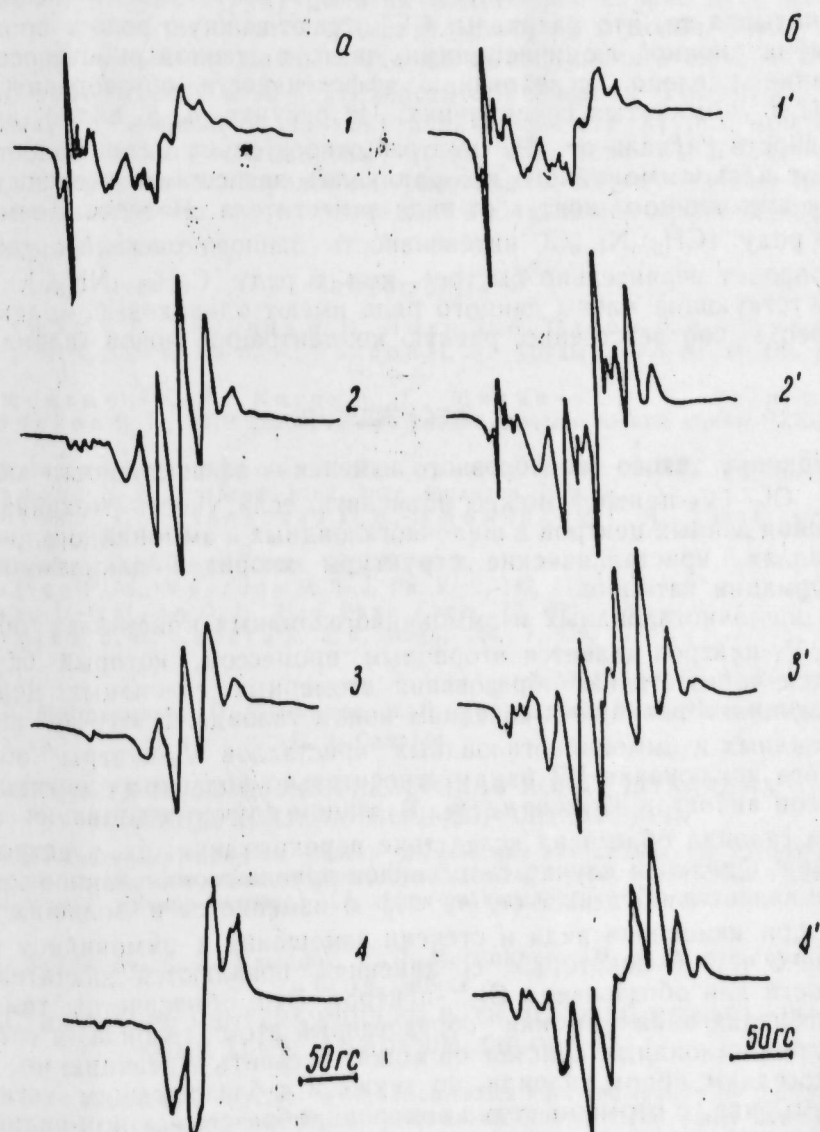
Чистые соли, предназначенные для исследования, были получены неоднократной перекристаллизацией (3–4 раза) реактива марки "Ч", высушены в вакуумном экскаваторе и заправлены в кварцевые или стеклянные (марки "Луч") ампулы. Ампулы с образцами облучались

ускоренными электронами с энергией 0,9 Мэв при температуре жидкого азота или γ -лучами кобальтового источника с дозой 5–7 Мрад. После облучения один конец ампулы был термически отожжен, чтобы устранить радиационные дефекты и образец переносился в отожженный конец. Образец во время всей этой операции поддерживался при температуре 77°К. Спектры ЭПР были записаны на радиоспектрометре РЭ-1301 при температуре жидкого азота.

РЕЗУЛЬТАТЫ

На рисунке представлены спектры ЭПР облученных хлоридов метилзамещенных аммония $(CH_3)_nNH_{4-n}Cl$ (рисунок, б). Все спектры представляют собой наложение сигналов по меньшей мере парамагнитных центров.

Во всех изученных соединениях образуются ион-радикалы, возникающие путем отрыва атома водорода от алкиламмонийного катиона



Спектры ЭПР γ -облученных хлоридов алкиламмония: 1— CH_3NH_3Cl ; 2— $(CH_3)_2NH_2Cl$; 3— $(CH_3)_3NHCl$; 4— $(CH_3)_4NCl$ (а); 1'— CH_3NH_3Cl ; 2'— $(C_2H_5)_2NH_2Cl$; 3'— $(n-C_3H_7)_2NH_2Cl$; 4'— $(n-C_4H_9)_2NH_2Cl$ (б)

на. По спектрам ЭПР видно, что в основном образуются радикалы $\dot{\text{C}}\text{H}_2\text{N}^+\text{H}_2$, $\dot{\text{C}}\text{H}_2\text{N}^+\text{H}_2\text{CH}_3$, $\dot{\text{C}}\text{H}_2\text{N}^+\text{H}(\text{CH}_3)_2$, $\dot{\text{C}}\text{H}_2\text{N}^+(\text{CH}_3)_3$ и $\dot{\text{C}}\text{H}_3$, $\dot{\text{C}}\text{H}_2\text{CH}_2\text{N}^+\text{H}_3$, $\text{CH}_3\dot{\text{C}}\text{HCH}_2\text{N}^+\text{H}_3$, $\text{CH}_3\dot{\text{C}}\text{HCH}_2\text{CH}_2\text{N}^+\text{H}_3$ соответственно в $\text{CH}_3\text{NH}_3\text{Cl}$, $(\text{CH}_3)_2\text{NH}_2\text{Cl}$, $(\text{CH}_3)_3\text{NHC}_l$, $(\text{CH}_3)_4\text{NCl}$, $\text{C}_2\text{H}_5\text{NH}_3\text{Cl}$, $\text{n-C}_3\text{H}_7\text{NH}_3\text{Cl}$ и $\text{n-C}_4\text{H}_9\text{NH}_3\text{Cl}$. Аналогичные радикалы наблюдались в работах [5–6], в которых исследовались радиационные дефекты в некоторых из изучаемых нами солей. Но из спектров ЭПР видно, что наряду с указанными образуются также другие радикалы, идентифицировать которые удалось, ввиду их малой концентрации.

Во всех указанных солях на спектрах ЭПР наблюдается анизотропный сигнал с δ -фактором, равным 2,061, который является сигналом от ион-радикала Cl_2^- . В работе [5] данный сигнал наблюдался, но не анализировался, т. к. авторы рассматривали радикалы, устойчивые к фотооблучению, а в [6] данный сигнал вообще не наблюдался. Учитывая то, что радикалы Cl_2^- играют важную роль в процессах рекомбинационной люминесценции, нали в данной работе основное внимание уделено исследованию эффективности образования этого центра в упомянутых соединениях. Из рисунка, а, б видно, что интенсивность сигнала от Cl_2^- -центра (относительно интенсивности сигнала от алкиламмонийного ион-радикала) зависит от степени замещения аммонийного иона и от вида заместителя. Интересно заметить, что в ряду $(\text{CH}_3)_n\text{N}_{4-n}\text{Cl}$ интенсивность данного сигнала с увеличением падает значительно быстрее, чем в ряду $\text{C}_n\text{H}_{2n+1}\text{NH}_3\text{Cl}$, хотя соответствующие члены данного ряда имеют одинаковый молекулярный вес и, соответственно, равную концентрацию ионов галоида.

ОБСУЖДЕНИЕ

Причину такого своеобразного изменения эффективности образования Cl_2^- (V_k -центров) можно объяснить, если учесть механизм образования данных центров в щелочногалоидных и аммонийногалоидных кристаллах, кристаллические структуры хлоридов алкиламмония и конформации катионов.

В щелочногалоидных и аммонийногалоидных кристаллах образование V_k -центров является вторичным процессом, который осуществляется через стадию образования атомарных галоидных центров, вступающих в реакцию с соседним ионом галоида. В случае щелочногалоидных и аммонийногалоидных кристаллов V_k -центры образуются без исключения [7] ввиду относительно большого соотношения радиусов аниона и катиона r_a/r_k . В данном случае ассоциация атома и иона галоида облегчена вследствие перекрывания их электронных функций. Однако в случае галогенидов алкиламмония данное соотношение является обратным ($\text{r}_a/\text{r}_k < 1$) и изменяется в больших пределах при изменении вида и степени замещения в аммонийном ионе, в связи с чем в некоторых соединениях появляются значительные трудности для образования Cl_2^- -центров. Это объясняется тем, что в галогенидах алкиламмония образованный атом галоида в отличие от щелочногалоидных кристаллов может вступить в реакцию не только с соседним ионом галоида, но также и с близлежащим катионом алкиламмония, с отрывом атома водорода, образовывая ион-радикалы.

Известно, что многие из галогенидов алкиламмония имеют ряд полиморфных переходов, которые расположены преимущественно ниже комнатной температуры [8, 9], в то время, как литературные

данные о кристаллографической структуре относятся, в основном, к комнатной температуре. При данной температуре структура многих из исследуемых в работе соединений имеет тетрагональную модификацию. При этом наименьший параметр решетки, характеризующий расстояние между ионами галоида, существенно увеличивается при переходе от хлоридов монометиламмония к тетраметиламмонию. В этом же ряду, как указано уменьшается эффективность образования V_k -центров. Что касается хлоридов монозамещенных алкиламмония, то здесь нет такого значительного изменения расстояния между ближайшими ионами галоида, что согласуется с наблюдаемым несущественным изменением концентрации V_k -центров. Следует отметить, что несмотря на определенные закономерности в спектрах ЭПР облученных хлоридов метилзамещенных аммония, с одной стороны, и хлоридовmonoалкилзамещенных аммония—с другой, строгое сравнение их спектров не представляется возможным из-за того, что кристаллические и молекулярные структуры этих соединений сильно отличаются.

Однако несмотря на это обстоятельство, на основании полученных экспериментальных данных, все же можно сделать выводы относительно возможности и эффективности образования V_k -центров, так как имеющиеся данные по их кристаллическим структурам при температуре жидкого азота указывают на то, что хотя бы в одном из кристаллографических направлений расстояние между ионами хлора меняется закономерно, что согласуется с наблюдаемой эффективностью образования V_k -центров.

Литература

- Лущик Ч. Б., Гиндин Р. И., Йыги Х. В., Плоом Л. А., Пунг Л. А., Тийслер Э. С., Эланго А. А., Яансон Н. А. Труды ИФА АН ЭССР, 43, 7, 1975.
- Пшежецкий С. Я., Котов А. Г., Милинчук В. К., Рогинский В. А., Туников В. И. ЭПР свободных радикалов в радиационной химии. "Химия", М., 1972.
- Мамедов А. П., Панова Л. Я., Керимов Н. М. ЖПС, 16, 841, 1972.
- Панова Л. Я. Автореф. канд. дисс. Иркутск, 1974.
- Котов А. Г., Пухальская Г. В., Пшежецкий С. Я. Химия высоких энергий, 4, 93, 1970.
- Tenck A. I. J. Phys. Chem. 67, 923, 1963.
- Patten F. W., Marcone M. I. J. Ph. Rev. 142, 513, 1966.
- Tsai I., Gillson D. F. R. J. Phys. Chem. 72, 4082, 1968.
- Andrew E. R., Canegi P. S. J. Magn. Res. 7, 429, 1972.

ИИХП

Поступило 20. V 1977

М. Э. Мэрданов, А. П. Мамедов, В. Р. Мардухаев, М. А. Надзахова, Е. Ю. Салаев

АММОНИУМУН БЭЗИ ХЛОРИДЛЭРИНДЭ ИОНЛУ ШУАЛЫМА ИЛЭ ИНДУКСИЈАЛАНЫШ ЭПР СПЕКТРЛЭРИ

Мэгэлэдэ көстэрилмишдир ки, аасаан һидрокеин алкиламмониум катионундан гомасы юлу илэ јарнаи катион-радикалларла јанаши, бутүн тэргүн единзэн дузларда шуаланимын тэсир илэхийн Cl_2^- -анион-радикаллары (V_k -мэрикээлэр) эмээдээ кэлдэр.

M. A. Mardanov, A. P. Mamedov, V. R. Mardukhaev, M. A. Nadzhafova, E. Yu. Salaev

SPECTRA OF EPR CENTERS INDUCED WITH IONIZING EMISSION IN SOME ALKYL AMMONIUM CHLORIDES

It has been shown that together with cation-radicals formed mainly by the break-away of hydrogen from alkyl ammonium cation in all studied salts under irradiation Cl_2^- anion radicals (V_k -centers) are formed.

The efficiency of formation of the latter depends upon the relation of cation and anion dimensions and correlates with the type and degree of ammonium ion substitution and with crystal structure of salts studied.

ДОКЛАДЫ АКАДЕМИИ НАУК АЗЕРБАЙДЖАНСКОЙ ССР

Том XXXIII Чилд

№ 10

1977

УДК 550.40

ГЕОХИМИЯ

А. М. ДАДАШЕВ, И. С. ГУЛИЕВ, Ю. Б. ГАЛАНТ

**К ГЕОХИМИЧЕСКОЙ ХАРАКТЕРИСТИКЕ ГАЗОВ
КОЛЧЕДАНО-ПОЛИМЕТАЛЛИЧЕСКИХ МЕСТОРОЖДЕНИЙ
ЮЖНОГО СКЛОНА БОЛЬШОГО КАВКАЗА**

(Представлено академиком АН Азербайджанской ССР Ш. Ф. Мехтиевым)

Изучение газов рудных месторождений представляет интерес как с точки зрения разработки газовых геохимических методов поисков залежей полезных ископаемых, так и обеспечения безопасных условий работы в рудниках и выработках [4].

Газы рудных месторождений Азербайджана слабо изучены.

В настоящем сообщении представлены результаты изучения газов колчеданно-полиметаллических месторождений южного склона Большого Кавказа—Филичай, Катех, Кацдаг. В геологическом строении месторождений принимают участие глинисто-сланцевые и песчанистые отложения юры. Рудные тела сложены сульфидными минералами—в основном пиритом, пирротином, сфалеритом, галенитом и халькопиритом.

Газы коры выветривания представлены в основном атмосферными компонентами—азотом, кислородом и углекислым газом (табл. 1). Содержание азота изменяется от 24,0 до 77,8%, кислорода—от 5,13 до 21,6%, углекислого газа—4,6—68,5%, метана—от следов до 0,0034%, гелия—до 0,005%, H_2S —до 0,066%.

В пробах подпочвенного воздуха определен изотопный состав углерода (углекислого газа); C^{13} изменяется от 0,832 до 1,22. Рудничный воздух содержит до 2% CO_2 , причем содержание последнего достигает максимальных значений в зоне вскрытия штолней рудного тела [3].

Газы, выделяющиеся из скважин (спонтанные и воднорастворенные), характеризуются повышенным содержанием метана—до 26,3%. Интерес представляет также проба газа из промывочной жидкости (скв. 270, Кацдаг), которая характеризуется повышенным содержанием водорода—65,0%.

Газы, заключенные в закрытых порах пород и руд (табл. 2), изучались методом вакуум-дробления породы в специально изготовленных стаканах. В составе газовой смеси присутствует азот от 84,15 до 98,7%, кислород 0,1—3,28%, углекислый газ 0,6%—14,8%, водород до 2,57%, метан от 0,015 до 2,96%.

Место отбора, проба	N_2	O_2	CO_2	CH_4	tu	He	H_2
Филичай Подпочвенный воздух № 70	73,2	5,13	21,02	—	—	—	—
№ 71	77,8	13,1	9,03	—	—	—	—
№ 72	73,2	14,57	12,82	—	—	—	—
Воднораствор. газ (источник)	43,2	21,6	24,5	—	—	—	—
	64,8	17,6	17,0	—	—	—	—
	46,7	24,2	17,3	—	—	—	—
Воднораствор. газ шт. 50	24,0	6,6	68,5	0,0033	Сл.	0,005	—
шт. 14	46,1	13,5	39,1	0,0346	Сл.	—	—
шт. 16	—	9,09	55,08	—	—	—	—
шт. 7	—	18,9	13,3	—	—	—	—
Кацдаг	—	—	—	—	—	—	—
шт. 12	79,5	12,4	8,6	5×10^{-3}	Сл.	0,001	—
шт. 17	76,4	19,0	4,6	$6,8 \times 10^{-3}$	$6,1 \times 10^{-3}$	—	—
Катех	—	—	—	—	—	—	—
шт. 1	81,5	13,8	4,7	$2,3 \times 10^{-3}$	$3,5 \times 10^{-4}$	0,002	—
шт. 8	76,9	21,9	1,2	$2,1 \times 10^{-3}$	3×10^{-5}	0,002	—
Филичай спонтанный газ, скв. 415	69,6	—	1,46	26,3	0,0127	—	—
скв. 416	71,6	—	0,85	23,8	0,007	0,039	—
скв. 401	62,5	—	1,016	14,8	0,056	0,037	—
Катех скв. 103	86,0	14,0	Сл.	1×10^{-5}	8×10^{-5}	0,004	—
Кацдаг скв. 12	77,5	13,5	9,0	5×10^{-3}	Сл.	Сл.	—
скв. 270	22,5	2,8	Сл.	0,21	0,1	65,0	—

Таблица 2

Состав газа

Место отбора	Наименование пробы	CO_2	N_2	O_2	H_2	CH_4	C_2H_6
1. Филичай	Аргиллитовый сланец	0,6	98,7 7	0,5	0,1	0,0956	0,001
2. . .	Аргиллит с линзами пирита	14,2	84,15	0,58	0	0,1856	—
3. . .	Выветрелая эфузивная порода	4,1	91,12	2,21	1,14	1,39	0,0007
4. . .	Массивная колчеданная руда	14,8	84,15	0,58	—	0,41	0,001
5. Кацдаг	Кварцевый песчаник	5,3	91,44	0,39	2,57	0,246	0,0013
6. . .	Гидротермально измененная магматическая порода	6,2	92,32	3,28	0,819	0,2313	0,0002
7. . .	Аргиллиталевролитовый сланец	Следы	98,43	1,69	0,648	0,015	—
8. Катех	Аргиллит	3,6	94,45	0,11	0,627	1,12	0,0004
9. . .	Аргиллит с вкраплениями полиметаллов	Следы	94,98	0,53	1,91	2,96	0,0006
10. . "	Аргиллит	2,1	93,94	0,1	0,1	1,78	0,0006

Ряд проб пород и руд из Филичайского месторождения характеризуется повышенным содержанием CO_2 —до 14,8%. Из краткой характеристики химического состава газов колчеданно-полиметаллических месторождений видно, что в газах преобладают азот и кислород, а углекислый газ и метан в небольших количествах.

ческих месторождений Филизчай, Катех, следует, что они представляют различные сочетания в основном четырех компонентов: CO_2 , N_2 , CH_4 и O_2 . Газы поверхностных отложений по составу кислородно-углекисло-азотные, что является следствием активной зоны водо-газообмена.

Газы, спонтанно выделяющиеся из скважин, по составу метаново-азотные, а газы закрытых пор азотные.

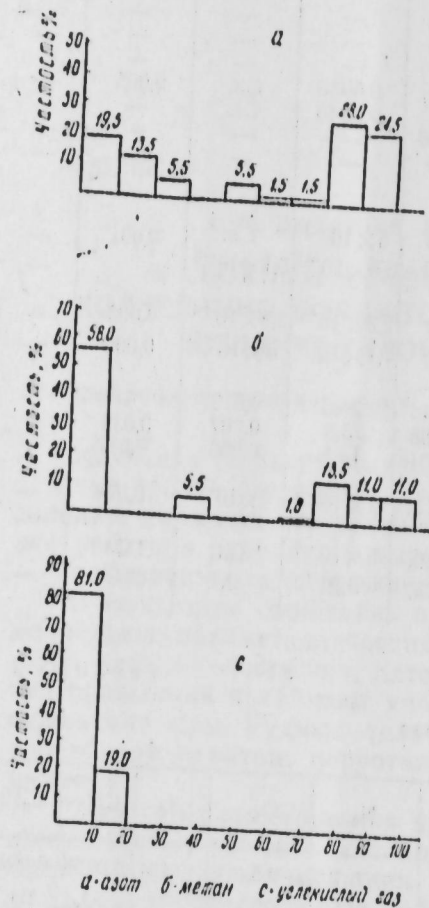
Наиболее существенной особенностью газов колчеданно-полиметаллического месторождения Филизчай является присутствие значительного содержания углекислого газа в водах источников, штолен, подпочвенных отложениях. Максимальное содержание углекислого газа отмечено в пробах воды, вытекающих из штолен в центральной части рудного тела. Образование повышенного содержания углекислого газа на участках колчеданно-полиметаллических месторождений, видимо, связано с окислительными процессами.

По данным Р. Т. Исемайлова, изучавшего окислительную активность сульфидных руд указанных месторождений, средняя химическая константа поглощения кислорода $V \text{ ml/g}\cdot\text{ч}$ (показатель химической активности) за период от 50 до 250 ч, составляет до $0,0336 \text{ ml/g}\cdot\text{ч}$, что превышает константы поглощения на других месторождениях, где вследствие интенсивного окисления возникли эндогенные пожары [1]. Значительное поглощение кислорода свидетельствует об интенсивных окислительных процессах, которые приводят к образованию углекислого газа. Таким образом, газовая обстановка на участках колчеданно-полиметаллических месторождений характеризуется присутствием повышенных содержаний углекислого газа.

В региональном плане, на территории южного склона Б. Кавказа распространены газы азотного, реже метанового состава.

Как следует из рисунка, где даны графики процентных содержаний азота, углекислого газа и метана в минеральных источниках Б. Кавказа в пределах Азербайджана, газы выше 60% изученных проб по химическому составу можно отнести к азотным. Отдельные струи метанового состава, по-видимому, связаны с повышенным содержанием органического вещества в отложениях средней юры [4]. Содержание углекислого газа в минеральных источниках не превышает 20%.

Таким образом, на фоне регионального распространения газов азотного и метанового состава, участки колчеданно-полиметаллических месторождений выделяются повышенным содержанием углекислого газа. Последний, в связи с этим, может служить индикатором при поисках колчеданно-полиметаллических руд [2].



Литература

1. Веселовский В. С. Самовозгорание промышленных материалов. Изд-во "Наука", 1968.
2. Дадашев А. М., Гулиев И. С., Дадашев Ф. Г. Результаты газовой съемки на колчеданно-полиметаллических месторождениях южного склона Б. Кавказа. "Геология рудных месторождений", № 4, 1974.
3. Дадашев Ф. Г., Дадашев А. М., Гулиев И. С. К вопросу о происхождении углекислого газа в подпочвенных отложениях сульфидных месторождений южного склона Б. Кавказа. "Изв. Вузов, серия "Геология и разведка", № 8, 1975.
4. Фридман А. И. Природные газы рудных месторождений "Недра", 1970.
5. Мехтиев Ш. Ф., Алиев Ад. А. Геохимическая характеристика органического вещества пород. В кн. "Геология СССР", т. XVII, "Недра", 1976.

Поступило II, IV 1977

Институт геологии

А. М. Дадашев, И. С. Гулиев, Ю. В. Галант

БӨҮК ГАФГАЗЫН ҚӨНҮБ ІАМАЧЫНЫН КОЛЧЕДАН-ПОЛИМЕТАЛЛАРДА ГАЗЛАРЫНЫҢ ҚСЕОКИМДІК СӘЦИЛДІСІНІҢ ДАИР

Мөгәләде Филизчай, Катех және Кандаг жағында анықталған газының, суда һәлә олымуш әсүхурлар аятында бағын газлардың қсекимдіктерінде.

Мүәжжән еділменидір ки, колчедан-полиметалл жағалардың үчүн сәцилдісін олар карбон газынан бу жағалардың ахтарышында истифада етмек олар.

А. М. Dadashov, I. S. Guliev, Yu. V. Galant

TO GEOCHEMICAL CHARACTERISTIC OF PYRITE-POLYMETALLIC DEPOSITS GASES OF GREAT CAUCASUS SOUTHERN SLOPE

Geochemistry of residuum gases, spontaneous and containing in water, and of closed pores gases of Philizechal, Katedag and Kaudag deposits rocks is given.

It is noted that carbon dioxide characteristic for pyrite-polymer deposits can be used for their search.

УДК 581·9

БОТАНИКА

В. К. КАЗАНФАРОВА

НОВЫЕ ВИДЫ ИЗ РОДОВ MINUARTIA L., ELISANTHE (FENZL) REICHB. (CARYOPHYLLACEAE JUSS.) И PHELIPAEA DESF. (OROBANCHACEAE LINDL.) ДЛЯ ФЛОРЫ НАХИЧЕВАНСКОЙ АССР

(Представлено академиком АН Азербайджанской ССР В. И. Ульянищевым)

При исследовании гербарного материала региональной флоры Нахичеванской АССР, собранного разными коллекторами, нами были обнаружены два новых вида из родов *Minuartia* и *Elisanthe* сем. *Caryophyllaceae*, а также один вид из рода *Phelipaea* сем. *Orobanchaceae*.

И. И. Карягиным [1] для Нах. АССР указано 10 видов из рода *Minuartia*. В результате обработки гербарного материала, нами выявлен еще один вид—*Minuartia biebersteinii* (Rupr.) Schischk., собранный А. А. Гроссгеймом 31. V 1934 г. в Шахбузском районе, между сс. Биченек и Коланы, на скалистых местах.

Материал хранится в Гербарии Института ботаники АН Азерб. ССР (BAK).

Следовательно, ареал этого кавказского эндема охватывает не только Большой Кавказ, но также и высокогорье Нах. АССР.

При уточнении видового состава рода *Minuartia* по флоре Нах. АССР приведено также таксономическое изменение в отношении вида *M. oreina* (Mattf.) Schischk. Согласно современным представлениям [2], этот вид низведен до ранга подвида—*M. recurva* (Ait.) Schinz et Thell. subsp. *oreina* (Mattf.) Mc Neill.

Таким образом, род *Minuartia* в Нах. АССР представлен следующими видами: *M. hybrida* (Vill.) Schischk., *M. meyeri* (Boiss.) Voglm., *M. sclerantha* (Fisch. et C. A. Mey.) Thell., *M. micrantha* Schischk., *M. woronowii* Schischk., *M. recurva* (Ait.) Schinz et Thell. subsp. *oreina* (Mattf.) Mc. Neill., *M. biebersteinii*, *M. luteata* Voglm., *M. dianthifolia* (Boiss.) Hand.—Mazz., *M. aizoides* (Boiss.) Voglm., *M. imbricata* (Bieb.) Woron.

Во "Флоре Азербайджана" [1] род *Elisanthe* в Нах. АССР представлен одним видом. Однако при изучении гербарного материала, оказался экземпляр, собранный Л. И. Прилипко (13. VI 1933) в Ордубадском районе (вблизи с. Билав, в саду) и определенный Т. Гейдеман, как *Melandrium boissieri* Schischk. При уточнении мы отнес-

ли его к *E. noctiflora* (L.) Rupr. Кроме того, среди экземпляров *E. viscosa* (L.) Rupr. был обнаружен один гербарный лист, собранный Л. И. Прилипко и Н. Вихерт (16. VIII 1921) около с. Биченек в Шахбузском районе и определенный А. А. Гроссгеймом, который нами относится к *E. noctiflora*.

Материалы по этим видам хранятся в Гербарии Института ботаники АН Азерб. ССР (BAK).

Следовательно, в состав флоры рассматриваемого региона входят два вида *Elisanthe*: *E. noctiflora* и *E. viscosa*.

Несмотря на то, что *Phelipaea coccinea* (Bieb.) Poir. был указан Л. И. Прилипко для Нах. АССР [3], во "Флоре Азербайджана" этот вид не приводится для данной территории [4].

При обработке материала, хранящегося в Гербарии института (BAK), нами обнаружено несколько листов *Ph. coccinea* из Нах. АССР: Шахбузский район, вблизи с. Биченек, 27. VI 1932, Л. И. Прилипко; там же, 28. VII 1932, Л. И. Прилипко; Шахбузский район, вблизи с. Кюкю, 30. VI 1934, И. Гаджиев, Н. Гурвич; Шахбузский район, недалеко от с. Кюкю, вдоль реки, на скалах, 3. VII 1936, И. Гаджиев.

Таким образом, во флоре Нах. АССР имеется два вида *Phelipaea*: *Ph. coccinea*, *Ph. tournefortii* Desf.

Литература

1. Карагин И. И. Рода *Minuartia* L. и *Elisanthe* (Fenzl) Reichb. Флора Азербайджана, т. 3. Изд-во АН Азерб. ССР. Баку, 1952.
2. Черепанов С. К. Свод дополнений и изменений к "Флоре СССР". Изд-во "Наука". Л., 1973.
3. Прилипко Л. И. Растительные отношения в Нахичеванской АССР. Тр. Ботанич. ин-та, т. 7. Изд-во АзФАН СССР. Баку, 1939.
4. Цвелеев Н. Н. Род *Phelipaea* Desf. Флора Азербайджана, т. 7. Изд-во АН Азерб. ССР. Баку, 1957.

Институт ботаники

Поступило 3. III 1977

В. Г. Гэзэнфарова

MINUARTIA L., ELISANTHE (FENZL) REICHB. (CARYOPHYLLACEAE JUSS.) ВЭ PHELIPAEA DESF. (OROBANCHACEAE LINDL.) ЧИНСЛЭРИНИН НАХЧЫВАН МССР-И ФЛОРASI ҮЧҮН ЖЕНИ НӨВЛЭРИ

Мэголадэ Нахчыван МССР флорасынын тәртиби илээ элагэдэр оларыг *Minuartia*—чиноту, *Elisanthe*—Мүркүоту вэ *Phelipaea*—Фелипеја чинслэрини тәдгигинин иэтчэлэри верилмишдир.

Нэмийн чинслэри эразијэ иид олан һербари материэлларынын өјрөннөмэсн иэтчэснэдэ Нахчыван МССР үчүн жени олан *M. biebersteinii* (Kupr.) Schischk., *E. noctiflora* (L.) Rupr. (*Caryophyllaceae* фасилэснэднэдирлэр) вэ *Phelipaea coccinea* (Bleb.) Poir. (*Orobanchaceae* фасилэснэднэдир) нөвлэри ашкар едилмишдир.

V. K. Kazanfarova

A NEW SPECIES OF GENERA MINUARTIA L., ELISANTHE (FENZL) REICHB. (CARYOPHYLLACEAE JUSS.) PHELIPAEA DESF. (OROBANCHACEAE LINDL.) FOR THE FLORA OF THE NAKHICHEVAN ASSR

For this region *Minuartia biebersteinii* (Rupr.) Schischk., *Elisanthe noctiflora* (L.) Rupr. (*Caryophyllaceae*), *Phelipaea coccinea* (Bleb.) Poir. (*Orobanchaceae*) are established at first.

УДК 581. 133

АНАТОМИЯ РАСТЕНИЙ

Акад. В. Х. ТУТАЮК, М. Г. МУСТАФАЕВА

ПОКРОВНЫЙ КОМПЛЕКС И УСТЬЧИЧНЫЙ АППАРАТ
У МОЖЖЕВЕЛЬНИКОВ АЗЕРБАЙДЖАНА

Как известно, голосеменные растения в нашу геологическую эпоху представлены, главным образом, хвойными растениями. Эти относительные ксерофиты всех континентов распространены, за некоторым исключением, на северном полушарии земного шара. Можжевельники являются крайними ксерофитами. Из 70 видов можжевельников, произрастающих на земном шаре в Азербайджане распространено 6 видов, которые встречаются на скалистых местах. Из них 3 вида (*J. foetidissima*, *J. rufescens*, *J. polycarpos*) составляют основной фон арчевого редколесья Турянчайского заповедника, а остальными отрогам Лачинского, Кельбаджарского, Кубинского, Карабахского лесных массивов. Все названные виды в своем роде являются пионерами древесной растительности, т. к. в тех местах, где они встречаются, вероятно, другие древесные растения не росли. Все они демонстрируют удивительную приспособленность к обитаемой среде и в этом немаловажную роль играют, вероятно, покровные ткани. Несомненно, взаимодействие растений с внешней средой осуществляется посредством тканей, покрывающих органы растения с наружной стороны. Учитывая указанное, нами были подвергнуты тщательному исследованию покровные образования у различных видов можжевельников Азербайджана. Вначале было обращено особое внимание структурным особенностям эпидермиса. Как оказалось, невозможно было эпидермис рассматривать изолированно от соседних тканевых образований, расположенных непосредственно под эпидермисом (рис. 1, 2). При внимательном рассмотрении покровных образований выделялся буквально комплекс тканевых сочетаний. По этой причине мы подчеркнуто именуем нашу работу не структурные особенности эпидермиса, а покровный комплекс, основной частью которого является эпидермис.

Как показали проведенные нами анатомические исследования хвои, покровные образования у различных представителей можжевельников демонстрировали определенное сходство, которое заключалось не только в тождестве отдельных клеток тканевых образований, а представляло собой сходное единение различных тканевых образований в особый комплекс-покровных образований. Главное, что бросалось в глаза в этом единении, это защита растения от излишнего испарения.

Следует отметить, что у различных исследованных видов можжевельника гистологические элементы настолько тождественны, что не приходится останавливаться отдельно на их описании. Материалом для исследования послужили следующие виды, взятые с упомянутых ниже районов и культивированных в ботаническом саду Института ботаники (г. Баку). *J. foetidissima*, *J. rufescens*, *J. polycarpos* с Турянчайского заповедника и Ботанического сада Института ботаники АН Азерб. ССР. *J. oblonga*, *J. rufescens* с Кельбаджарского района, *J. rugosa* из Шахбузского района, *J. oblonga* с Шаумяновского и Лачинского районов и *J. rufescens* с оз. Марал-гель.

Молодые побеги и хвоя названных видов были фиксированы в 70%-ном спирте. Срезы-препараты были изготовлены и подкрашены по общепринятой методике, применяемой в анатомии растений.

Из каких же тканевых образований слагается названный нами покровный комплекс?

Основной элемент покровного комплекса в хвое можжевельников — эпидермис почти у всех исследованных видов слагается из клеток со слегка придавленными в тангенциальном направлении клетками, имеющими сильно утолщенные оболочки; оболочки названных клеток в высшей степени кутинизированы. В радиальном направлении эти клетки расположены весьма плотно. В отличие от эпидермиса лиственных пород, эпидермис хвои можжевельника, почти не сдирается. Причина этого явления заключается в том, что с внутренней стороны эпидермальные клетки примыкают к клеткам гиподермы, последняя, выполняя в хвое можжевельника особую роль, входит в состав покровного комплекса. Таким образом, внутреннюю прослойку покровного комплекса составляет гиподерма. По структуре своих клеток гиподерма типичная механическая ткань, которая представлена склеренидами — каменистыми клетками. Это толстостенные клетки, просвет которых сведен в сильно суженный каналец. Клетки гиподермы в основном расположены в один ряд под эпидермисом. По углам чешуевидной хвои гиподермальные клетки достигают 4—5 рядов (рис. 1). Размеры их на этих участках в отличие от гиподермальных клеток, расположенных в один ряд, различные. Все сказанное о гиподермальных клетках подтверждает, что наряду с механической функцией, гиподерма является мощным наружным пояском хвои, воспрепятствующим совместно с эпидермисом излишнему испарению. Это внутренний поясок эпидермиса.

Снаружи от эпидермиса сформирована мощная прослойка кутикулы. Местами кутикула у некоторых видов (*J. rufescens* из Турянчайского заповедника и ботанического сада АН Азербайджанской ССР, *J. foetidissima* и *J. oblonga* из Шаумяновского района) достигает толщины эпидермальных клеток вместе с гиподермальными клетками в поперечнике.

Устьичный аппарат у можжевельников Азербайджана. Ксероморфная структура особенно ярко выражена в структуре устьичного аппарата. Впервые нашими исследованиями установлена весьма любопытная и не описанная в литературе для устьичных аппаратов структура; во всех изученных видах можжевельника деятельность устьичного аппарата регулируется не одной, а двумя парами замыкающих клеток. Ранее подобный устьичный аппарат нами был описан впервые для представителей покрытосеменных растений, причем как аномальная структура у ситниковидного лрока — *Spartium junceum* L. (Тутаюк, 1966). Указанный устьичный аппарат нами был назван двухэтажным, где одна пара замыкающих клеток была расположена в одном ярусе с эпидермальными клетками, а другая — расположилась под замыкающими клетками верхнего яруса. По этой

причине в то время указанный устьичный аппарат был назван двухэтажным.

Проведенными исследованиями выявлено, что для отдельных видов можжевельников весьма характерно число устьиц и их расположение.

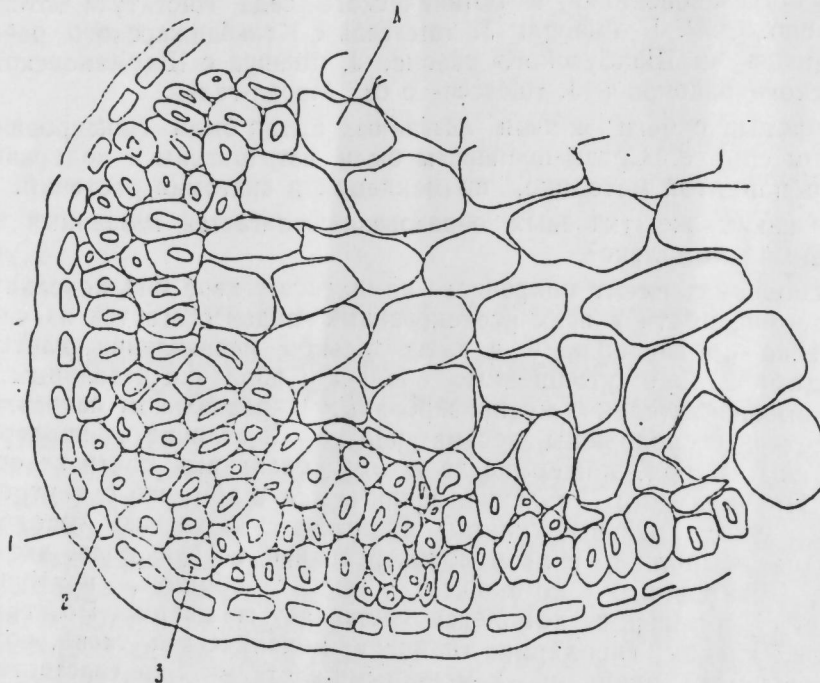


Рис. 1.

Устьичные аппараты *J. rufescens*, *J. oblonga* и *J. rugosa* расположены в верхней стороне хвои, на местах соприкосновения эпидермиса хвои к побегу, причем ближе к основанию хвои, по два ряда как у игольчатых хвойных, симметрично в отношении центральной части хвои.

В каждом ряду можно подсчитать 5—7, а иногда 8 устьиц. Визуально это две белые полоски в верхней стороне хвои. У чешуйчатых хвойных они располагаются почти по центральной части хвои.

Расположение устьичного аппарата *J. polycarpos* зависит от расстояния устьицы от побега. В близкой к побегу части хвои устьичные аппараты расположены в нижней стороне хвои; по мере приближения к концу хвои, устьицы располагаются по обеих сторонам, а иногда даже только в верхней стороне. Насчитывается в основном 4—6 устьиц, а иногда 8.

У вида *J. foetidissima* устьицы, так же, как и у сосны расположены по обе стороны хвои. Количество устьиц в большинстве случаев 8—10.

По структуре устьичные аппараты очень похожи друг на друга. С наружной стороны устьица также укрыта мощной прослойкой кутикулы. По направлению к устьичному аппарату имеет место некоторое углубление. В целом, вход в устьице имеет форму воронки, с очень маленьким отверстием на дне, через которое и происходит весьма экономный расход влаги.

Таким образом, можжевельники как более древние растения, пионеры древесных растений в трудно обитаемых уголках земного

шара (если принять во внимание их потребительность к почвенным условиям и засухоустойчивость), продемонстрировали крайне ксерофитную структуру, что особенно выразилось в формировании мощного

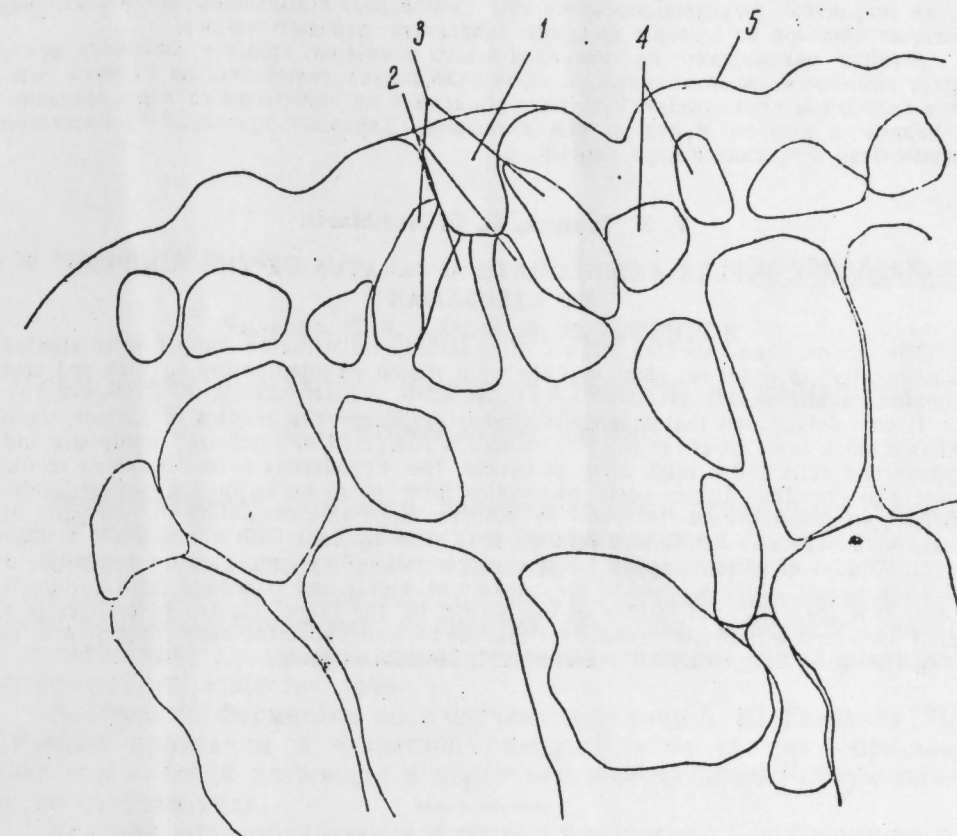


Рис. 2.

слоя покровного комплекса, слагающегося из толстостенных эпидермальных и гиподермальных клеток, и весьма толстого слоя кутикулы. Особого внимания достойны устьичные аппараты, состоящие из двух пар замыкающих клеток.

Литература

1. Тутаюк В. Х. Устройство устьиц испанского дрока. „Наука и жизнь“, № 6, 1965.
2. Тутаюк В. Х. Двухэтажные устьица ситниковидного дрока (испанского). „Элм ве хеят“, № 10, 1966, стр. 6—7.
3. Тутаюк В. Х. Анатомия и морфология растений. „Высшая школа“, М., 1972, стр. 335.
4. Тутаюк В. Х., Мустафаева М. Г., Алиева Х. З. К вопросу о строении устьичного аппарата у некоторых представителей хвойных растений. „ДАН Азерб. ССР“, XXIX, № 10, 1973.
5. Тутаюк В. Х., Мустафаева М. Г. Анатомия хвои красных (*Juniperus rufescens*) и тяжелопахучих (*Juniperus foetidissima*) можжевельников. „ДАН Азерб. ССР“, XXX, № 7, 1974, стр. 61—65.
6. Прилипко Л. И. Деревья и кустарники Азербайджана, т. 1. Изд-во АН Азерб. ССР. Баку, 1961, стр. 322.

Институт ботаники

Поступило 27. I 1977

В. Х. Тутајуг, М. К. Мустафајева

АЗЭРБАЙЧАН АРДЫЧЛАРЫНЫН ӨРТҮК КОМПЛЕКСИ ВӘ АФЫЗЧЫГ АПАРАТЫ

Азэрбајчанда јајылыш 6 ардыч нөвүүнүн гајалыг, чыңгыллыг вә олдугча гуру айгым шәраптинг ујгунашмаларынын эсас сәбәбләрини аյдынлаштырмаг мәгсәди илэ онларын иjnәләри вә зоглары анатомик тәдгигата уградылышыры.

Мүэйян едилмишdir ки, нөвүндөн асылы олмајараң, ардыч иjnәләриндө күчлү өртүк комплекси эмделә кәлмишdir. Өртүк тәбәгесине галынашмыши куткул тәбәгеси гилафлары чох галын һүчөрәли спидермис вә һиподерм гатлары дахиидир. Һиподерм иjnәләрини күнчләри чох гатлышыры. Харичдән иjnәләрини бу ииссәләри чыхынтылар шәклинидә нөзәре чарпыр.

V. H. Tutayuk, M. G. Mustafaeva

COVER COMPLEX AND STOMATE APPARATUS OF THE JUNIPERS OF AZERBAIJAN

The shoots and needles of six of Azerbaijan-distributed Juniper were studied anatomically in order to clear out the main reason of adaptability to rock and arid climatic conditions.

It was determined that independently of species, in the needles of Juniper, there exists a thick layer of cover complex which is composed of thick-wall epidermic and hypodermic cells and a thick layer of cuticle. The hypodermis is multilayered in the corners of needle. These parts of needles form sharp knobs on the outward side. Special attention should be paid to stomate apparatus consisting of two pairs of guard cells which is determined for the first time by our studies.

The outlet of stomate apparatus is a very small orifice connected on the outward with the funnel which widens to the surface of needle and is soaked with cutine. It means that the outlet of stoma of the bottom of the funnel formed of cuticles is a small orifice. It was firstly established that the stomate apparatus consisting of 4 cells or of two pairs of guard cells the structural element of Juniper.

АЗЭРБАЙЧАН ССР ЕЛМЛӘР АКАДЕМИЯСЫНЫН МӘРУЗӘЛӘРИ

ДОКЛАДЫ АКАДЕМИИ НАУК АЗЕРБАЙДЖАНСКОЙ ССР

ТОМ XXXIII ЧИЛД

№ 10

1977

УДК 577. 156:513. 445. 4

ПОЧВОВЕДЕНИЕ

Чл.-корп. С. А. АЛИЕВ, М. М. ГУСЕЙНОВ

СЕЗОННАЯ ДИНАМИКА ФЕРМЕНТАТИВНОЙ АКТИВНОСТИ В ГОРНЫХ ЧЕРНОЗЕМАХ

Ферментативная активность является важным показателем характера и интенсивности биохимических процессов почв [1, 3, 4, 5].

Целью наших исследований являлось изучение (1975—1977 гг.) в горных черноземах Кедабекского района сезонной динамики активности комплекса почвенных ферментов (каталаза, инвертаза, уреаза и дегидрогеназа), имеющих первостепенное значение в превращении органического вещества почв.

Активность ферментов почв изучена методами А. Ш. Галстяна [2]. Анализы проведены в 4-кратной повторности на свежих образцах почв при полевой влажности и пересчитаны на абсолютно-сухую почву по сезонам года.

Условия почвообразования в горных черноземах характеризуются умеренно-холодным, полувлажным климатом со средней годовой температурой около 7—9°C, большим количеством атмосферных осадков (500—600 мм), значительная часть которых выпадает весной. Растительный покров представлен богатым разнотравьем со злаками. Обильно встречается ковыль—типичный представитель степных фитоценозов. Эти почвы отличаются высоким содержанием гумуса.

Результаты исследований сезонной динамики ферментативной активности в горных черноземных почвах показывают, что в весенне-летний период достаточная влажность и сравнительно высокая температура почв и наличие большого количества свежей растительной массы, а также накопление больших запасов гумуса и азота способствуют значительному повышению интенсивности микробиологических процессов и обогащению почвы активными ферментами. Особенно высокую активность проявляют гидролитические ферменты, участвующие в превращении углеводов растительных остатков.

В осенний период в этих почвах, по сравнению с предыдущими сезонами, наблюдается некоторое снижение в ферментативной активности в верхних горизонтах (0—5 см слой), тогда как в нижних эта разница сглаживается, а активность отдельных ферментов незначительно повысилась (таблица).

В зимний период понижение температуры при высокой влажности вызвало подавление микробиологических процессов и активности почвенных ферментов.

Сезонная динамика ферментативной

Сезоны	Инвертаза, мг глюкозы на 1 г почвы				Уреаза, мг NH ₃ на 1 г почвы			
	Глубина, см							
	0-5	5-20	20-40	40-100	0-5	5-20	20-40	40-100
Зима	20,4	10,8	9,0	8,4	3,7	1,2	0,3	0,7
Весна	25,7	12,6	9,6	8,7	5,3	2,5	1,0	0,5
Лето	35,8	14,3	10,8	9,2	8,4	4,2	1,0	0,4
Осень	24,7	13,2	9,5	8,6	4,1	3,0	1,2	0,4

В исследуемых почвах с глубиной почвенного профиля активность изученных ферментов резко уменьшается. Наиболее высокая активность ферментативных процессов наблюдается в верхнем корнеобитаемом слое почвы (0-5, 5-20 см), где накоплена основная масса корней растений. Отчетливая заторможенность ферментативных процессов отмечается в более глубоких слоях (40-100 см) почв.

Изучение сезонной динамики ферментативной активности свидетельствует о том, что наличие в горных черноземах большого количества свежей растительной массы, накопление гумуса и азота способствует значительному повышению в этих почвах высокоактивных ферментативных систем. В этих почвах наблюдается особенно значительная активность инвертазы, участвующей в превращении легкомобильных продуктов гумификации растительных остатков. Сравнительно высокая активность уреазы также свидетельствует об интенсивности протекания процессов разложения азотистых органических соединений.

Установлено, что в горных черноземах условия почвообразования благоприятствуют активизации гидролитических и окислительно-восстановительных ферментов, участвующих в разложении и синтезе органических веществ почв.

Литература

1. Алиев С. А., Гаджиев Д. А. Активность ферментов в основных типах почв Нахичеванской АССР. «ДЛН Азерб. ССР», № 2, 1975, 2. Галстян А. Ш. Ферментативная активность почв Армении. Вып. VIII, 1974. 3. Галстян А. Ш. Активность ферментов как показатель, характеризующий почвенные типы. Докл. VIII международному конгрессу почвоведов. «Наука», 1964. 4. Купревич В. Ф. и Щербакова Т. А. Почвенная энзимология. Изд-во «Наука и техника». Минск, 1966. 5. Козлов К. А. Изучение биологической активности почв Восточной Сибири. «Почвоведение», № 4, 1962.

Институт почвоведения и геохимии

Поступило 18. IV 1977

С. Э. Элиев, М. М. Гусейнов

**ДАГ-ГАРА ТОРНАГЛАРЫНДА ФЕРМЕНТЛЭРНИН АКТИВИЛИЙНИН
ФОСИЛЛЭР УЗРЭ ДИНАМИКАСЫ**

Могаләде Көдәбәј районунун даг-гара торнагларында һидролитик (инвертаза, уреаза) и оксидлошма-редукција (каталаза, деидрогеназа) ферментлоринин илин фосилләри үзәр дөйишмә гапунаујгулауглары ярәннәмешdir.

Мүөјөн олмушдуң ки, бу торнагларда ферментлорин јүксәк активилији илин яз, яз же најыз фосилләринде, он ашагы исә гын фосилинде мушапиле едилир. Даг-гара торнаглары һидролитик ферментлар ишбетен оксидлошма-редукција ферментлорин активилији илин сочијјеләнир. Бу торнагларда ферменттн он чох активилији узет (0-5 см) татла олуб, торнаг профили үзәр ашагы көтликтә гапунаујгүн оларaq авалыр.

Активности в горных черноземных почвах

Глубина, см	Дегидрогеназа, мг ТТФ на 10 г почвы				Каталаза, см ³ О ₂ на 10 г почвы			
	0-5	5-20	20-40	40-100	0-5	5-20	20-40	40-100
	7,1	0,3	0,5	0,1	5,7	5,0	3,2	1,9
	10,5	0,1	0,4	0,2	8,6	5,6	4,0	2,1
	13,4	7,2	0,6	0,3	13,2	8,1	4,6	3,2
	8,0	0,0	0,5	0,2	6,8	5,3	3,7	2,0

S. A. Aliyev, M. M. Guseinov

SEASONAL DYNAMICS OF FERMENTS ACTIVITY IN MOUNTAIN BLACK SOILS

The aim of investigation is to learn changes regularity of seasonal dynamics of ferments of hydrolytic (invertaza, ureaza) and oxidizing-restoration (catalaza, dehydrogenaza) in mountain-black soils of the region of Gedabek.

Determined that, in these soils the high activity of ferments observed in spring. In summer and in autumn and low in winter. The mountain-black soils in comparison hydrolytic ferments determine with the low activity of oxidizing-restoration ferments. In these soils the activity of ferment is on the layer (0-5 cm), according soil profile going to down decrease with the regularity.

АРХЕОЛОГИЯ

И. Г. НАРИМАНОВ

К ИСТОРИИ ДРЕВНЕЙШЕГО СКОТОВОДСТВА ЗАКАВКАЗЬЯ

(Представлено академиком АН Азербайджанской ССР З. М. Буниятовым)

Кавказ—один из регионов Евразии, входивший в зону распространения диких предков злаковых растений и домашних животных, находился в непосредственном контакте с древнейшими очагами цивилизации Передней Азии, где археологически засвидетельствовано наиболее раннее культивирование зерновых культур и доместикация животных. В этой связи в настоящее время все более определенно можно говорить о культурных комплексах типа Шому-тепе на среднем течении р. Куры и Кюльтепе в южных районах Закавказья как связанных с древнейшими этапами скотоводства. Территориально-географическое и хронологическое соприкосновение этих комплексов обусловливало существование взаимовлияний, которые нашли отражение в ряде черт материальной культуры.

Для каждого из этих комплексов характерны поселения с культурными отложениями различных мощностей, сохранившимися в виде тепе, расположенных обычно у небольших рек. Архитектурные строения на шумутепинских поселениях, как правило, круглопланные, возведены из плоско-выпуклых кирпичей, сделанных в формах, которые предшествуют применению таковых в Месопотамии. Типичной является своеобразная посуда без растительных примесей в составе глины, с налепными украшениями, каменные и костяные изделия, различные по типам и назначению. Памятники кюльтепинского типа, испытавшие заметные воздействия юга, с захоронениями на территории поселения (Кюльтепе, Аликемек тепеси), керамикой имеющей примеси самана, применением глиnobита обособляются от культуры Шому-тепе.

Оба эти культурные комплексы предшествуют памятникам ранней бронзы III тыс. до н. э. Ранние поселения охватывают почти двухтысячелетний период (V—IV тыс. до н. э.). Главной отраслью хозяйства данного времени было раннее земледелие, документированное археологически и освещенное в литературе, чего нельзя сказать, однако, о материале, связанном со скотоводством.

О характере и роли скотоводства в интересующий нас период свидетельствуют остеологические данные, определенные проф. Д. В. Гаджиевым из поселений Азербайджана.

Это поселения Шому-тепе, Тойре-тепе, Гаргалар тепеси, Бабадервиш на среднем течении р. Куры и Аликемек тепеси в Муганской степи.

Шому-тепе дало массовый остеологический материал. Кости мелкого рогатого скота составляют 57%, крупного—25%, а свиней—5,5%. Отдельно найденные зубы животных, которые насчитываются в сотнях экземпляров, не учитываются. Около 3% составляют кости собак. Остальная часть костей принадлежит диким животным.

Радиокарбонное определение для Шому-тепе дало дату 5560 ± 70 лет до н. э. (ЛЕ—631).

Тойре-тепе радиоуглеродным методом датирован образцом угля, взятым из средней толщи 4-метрового слоя 4205 ± 125 лет до н. э. (Бомбей ТФ—372). Из остеологического материала Тойре-тепе кости мелкого рогатого скота составляют 52,5%, быков—25,5%, свиней—14,3%, собак—0,5%. Кости диких животных составляют сколько 7%.

Исследованные культурные отложения, толщиною в среднем 2 м на поселении Гаргалар тепеси относятся к самому начальному периоду его жизни. Образец угля с площади раскопа дал дату 4175 ± 60 лет до н. э. (ЛЕ—1084). Образец, взятый из очажного глиновитного сооружения, на материковом слое показал возраст 4800 ± 60 лет до н. э. (ЛЕ—1083). Почти на этом же уровне была найдена бусина из медной пластинки, представляющая наиболее северную находку среди древнейших металлических предметов Евразии. Из Гаргалар тепеси была определена вся масса костей животных. В их числе 49,3% мелкого скота, 23,4%—быков, 15%—свиней, 9,8%—собак, остальная часть принадлежит диким животным.

Из Бабадервиша кости животных были добыты из заполнений землянок. Здесь кости мелкого рогатого скота составляют 49%, быков—36,5%, свиней—5%. Кости диких животных составляют—9,5%.

Основываясь на приведенных результатах изучения остатков из древнейших поселений Закавказья на среднем течении р. Куры можно отметить, что они обнаруживают большое сходство стада.

Кости крупнорогатых животных свидетельствуют о наличии двух пород быков. Единичные кости коз близки к костям их первобытных предков. Отдельные кости собак относятся к мелкой породе. Все эти данные важны для определения происхождения и истории развития ранних домашних животных Закавказья.

Вопрос о том, были ли племена культуры Шому-тепе первыми животноводами на территории Закавказья не находит подтверждения в приведенных материалах, ибо найденные костные остатки представляют собой виды домашних животных, далеко отошедших от своих диких предков. Это свидетельствует о том, что процесс доместикации этих животных произошел в более раннее время, уходящее в глубь предшествующих тысячелетий.

С этой же точки зрения можно рассматривать и материалы из памятников типа Кюльтепе. Остеологические остатки из поселения Кюльтепе содержат кости основных видов домашних животных, однако, цифровые данные о них не имеются.

Возраст для угля, взятого из Кюльтепе с глубины 18,2 м определен 3807 ± 90 лет до н. э. (ЛЕ—477). Ниже этой отметки лежат еще 4 м, а выше—около 5 м, отложения нижнего слоя.

Учитывая результаты радиоуглеродных дат для сопоставления памятников типа Шому-тепе и Кюльтепе небезинтересны данные, указывающие на соответствие в их материале. В верхней толще слоя Кюльтепе I имеются сосуды с массивными выступами вместо ручек. Обнаружение их в поздних материалах поселения Гаргалар тепеси указывает на существование этих памятников в определенный период.

Поселение Аликемек тепеси—один из памятников типа Кюльтепе Муганской степи содержит сосуды с массивными выступами, которые в 4-метровом энеолитическом слое сопровождаются кувшинами, снаб-

женными настоящими ручками. Последние в других объектах Кавказа до распространения Куро-Аракской культуры не были засвидетельствованы. Несомненно, поселение Аликемек тепеси отражает развитой этап энеолита на территории Закавказья.

Весьма ценные для интересующего нас вопроса являются костные остатки из раскопок Аликемек тепеси. В отличие от поселений культуры Шому-тепе, в Аликемек тепеси в процентном отношении первое место занимают кости быков—43,3%, второе—мелкого рогатого скота—35,2%, третье—кости лошадей—7,5%, четвертое—кости свиней—6,1%. Кости собак составляют 2,6%, кости диких животных менее 5%.

В Аликемек тепеси выявлено несколько черепов быков с рогами крупных размеров. Длина рогов большой кривизны достигает 690 м.м. По форме они полукруглые, концы их обращены друг к другу. Эти признаки довольно четко отличают быков Аликемек тепеси от неолитических быков Гобустана, изображенных на скалах. Рога гобустанских быков обращены вверх и вперед.

Для изучения истории развития скотоводства данные Аликемек тепеси дают возможность более конкретно подойти к вопросам, связанным с доместикацией и разведением лошади Переднеазиатско-Кавказского мира. Известно, что ни в одном из раннеземледельческих поселений Южного Кавказа не были отмечены кости как домашней, так и дикой лошади. В этом аспекте приобретают значение находки костей лошади, видимо, домашней в Сиалке (Иран).

Принадлежность костей из Аликемек тепеси домашней лошади очевидна не только в том, что в процентном отношении они занимают третье место среди костных остатков, но и наличием двух пород лошадей. Археологическая датировка Аликемек тепеси—середина IV тыс. до н. э.—хорошо вписывается в хронологическую колонку памятников Азербайджана и Закавказья.

В совокупности памятники культуры Шому-тепе и Кюльтепе характеризуют энеолитический этап развития, в хозяйстве которого скотоводство наряду с земледелием составляло основу экономики местного населения. Сложившаяся форма производящего хозяйства данного времени не может рассматриваться только как результат процесса, происходившего лишь на основе местных компонентов. Многие черты материальной культуры, а также погребального обряда ряда районов Закавказья V—IV тыс. до н. э. предполагают культурное воздействие и возможности расселения отдельных племен из сопредельных областей. Такому положению не противоречат и некоторые данные, связанные с древнейшим скотоводством Закавказья.

Сектор археологии
и этнографии

Поступило 15. I 1977

I. Q. Narimanov

OT THE HISTORY OF THE EARLY CATTLEBREEDING IN TRANSCAUCAZUS

The bones of domestic animals are above 90 per cent of the osteological materials of the settlements dating from the fifth fourth millennium B. C.

The bones of small cattle predominate in Shomu-tepe, Toire-tepe, Gaegalar tepesi, Babadervish on the middle of the Kura River.

Two breeds of oxen and dogs are identified.

The bones of oxen predominate in Alkemek tepesi in the South-Western part of the Caspian Sea (the middle of the fourth millennium B. C.); small cattle is the second, horse is the third, and pig is the fourth. Two breeds of horse are identified.

The available material testifies to a highly developed cattlebreeding among the inhabitants of Transcaucasus of the period in question.

И. Н. Нариманов

ЗАГАФГАЗИЈАДА ЕРКЭН МАЛДАРЛАРЫН ТАРИХИНЭ ДАИР

Мэгләдә Загафгазијада еркэн малдарлыгын тарихиндән бәйс олуунур. Ерамыздан эввэл V—IV миннелликләриңә иштән абидәләринге остеологи материалынын 90 физиондән чохуну еп нејваниларынын сүмүкләре тәшкил едир.

Күр чајынын орта ахынында Шомутәпә, Гаргалар тәпәси вә Бабадэрвишдә хырда бујнузлу нејваниларынын сүмүкләре тапталмыш вә иккى оқуз вә иккى ит чишенини варлыгы мүәјжән едилмишидир.

Хәзәр дәнизинин чөнуб-гәрбиндә Эликемек тәпәсендә оқуз сүмүкләре үстүнлүк тәшкил етмиш, иккинчи јери хырда бујнузлу нејван, үчүнчү—ат, дөрдүнчү—донуз сүмүкләре тутмушлур. Иккى ит чишенини варлыгы мүәјжән едилмишидир.

Мөнчүд материал көстөрилән дөврә нејваниларлыгын Загафгазијада кешиш инкишашыны тәсдиг едир.

АРХИТЕКТУРА

Р. МАМЕДОВА

ОБ ОДНОЙ ПРОБЛЕМЕ МУГАМНОГО ПРИНЦИПА МЫШЛЕНИЯ

(Представлено академиком АН Азербайджанской ССР М. А. Гусейновым)

Одной из важнейших проблем мугамного принципа мышления—мугамности—является проблема мугамно-ладовой функциональной системы.

Понятие мугамно-ладовой функциональной системы—сложное, включающее в себя несколько аспектов, а главное, как и всякая система, прежде всего процессуальное, динамическое. Как связаны в данном контексте мугам и лад? Не употребляются ли они как синонимы?

Во-первых, корень слова мугам дает несколько ростков: мугам—это народно-инструментальный и вокальный жанр (разновидности его—дестях и ритмический мугам), внутри которого существует мугамная форма, включающая в себя и форму-схему и формулопроцесс—мугамный принцип развития музыкального материала. Мугамность—не только жанровые признаки мугама, а шире—один из “уровней” системы национального мышления, сложившейся на “вершинах мысли и душевной глубины” (Асафьев), в эпоху азербайджанского ренессанса (IX—XII вв.). (Вероятно, такое значение и имел в виду Уз. Гаджибеков, определяя мугамность как “мугамный стиль” в азербайджанской музыке).

Во-вторых, мугам—“средство сохранения звуковой системы” (В. Середа); именно в мугаме в откристаллизованном стройном виде представлена вся азербайджанская ладовая система, складывавшаяся веками, все тончайшие нити, связывающие лады друг с другом. Так, М. С. Исмайлова даже родство ладотональностей выводят на основе мугамного развития¹. Системной установкой в соотношении мугама и лада, обусловленной координацией лада в мугамном развитии является эстетический принцип канонизации.

¹ Проблема лада в азербайджанской музыке получила свое классическое разрешение в труде Уз. Гаджибекова “Основы азербайджанской народной музыки” (Баку, 1957 г.). Непосредственным продолжением идеи Уз. Гаджибекова оказались труды М. С. Исмайлова. Словарь А. Бадалбейли является ценным не только своим “просветительским” складом, но и исследовательским, поскольку в словаре можно найти множество деталей, интересных конкретностей по поводу каждого мугама. Кроме того, проблемы лада так или иначе затрагиваются во многих работах азербайджанских исследователей.

Эстетический принцип канонизации в мугаме—прямое отражение специфики лада² в азербайджанской музыке (шире—восточной), являющемся конкретно-тематическим интонированием, скрепленным строгой рамкой ладовых устоев. Это является распространенным мнением о ближневосточных музыкальных культурах, но, тем не менее, для ясности приведу пример. В основе своеобразия ладовых выражений лежит индикация лада. Например, “индикатором лада” (Л. Мазель) в европейской мажоро-минорной системе является терция от тоники—большая либо малая, аналогично—мажорная, минорная. В азербайджанской музыке единичный интервал не способен передать характерность лада, поэтому индикатором его является определенная мотивная ячейка (каденции—“индикаторы” были впервые обобщены Уз. Гаджибековым).

Так, тот же интервал малой терции от тоники специчен и для лада “Сегях” и лада “Чаргях”, “Шуштер”. Или, квarta от тоники есть в каденции лада “Раст” и “Баяты-Шираз”. Подобно тому как терция в звукорядах европейских музыкальных культур “не играя столь большой опорной, функционально-логической роли, как верхний и нижний устои... “высвобождается” для своеобразной эмоциональной “окраски” лада” (Л. Мазель), и в азербайджанских ладах эстетически важной, значимой становится определенная опевающая попевка тоники лада—мелодическая ячейка лада. Этот основополагающий принцип индикации лада в ладовой азербайджанской системе служит главным выразителем ее самобытности³.

“Символична” тема побочной партии в первой фантазии Уз. Гаджибекова. Моцартовский трансформированный мотив⁴ как бы поставил все точки над “и” в проблеме освоения западно-европейского тематизма: тема сонаты Моцарта строится по мажорному тоническому трезвучию. (Пример 1а).



Пример 1 а



Пример 1 б

² В. Середа, например, объединяющим признаком этих культур считает сохранение звуковой системы... через особым образом систематизированный и обобщенный тематический материал, через системы устойчивых тематических образований. “Основные компоненты музыкальной системы”. В сб. ст. “Вопросы теории музыки”. М., 1975, вып. 3.

³ Конечно, мажорная и минорная терция не просто интервальная связь тонов, а веками кристаллизовавшийся интонационный процесс и, тем не менее противопоставление здесь интервала и мелодической “фразы” очевидно.

⁴ Как известно, Уз. Гаджибеков в первой фантазии использовал тематизм моцартовской до-мажорной сонаты № 15.

Побочная тема в первой фантазии Уз. Гаджибекова—по звукам самой типичной попевки—формулы лада „Чаргях“. (Пример 1б). И там и здесь—опора тематизма на самые яркие определители ладов, но, если в первом случае основа функционально-гармоническая, то во втором—функционально-мелодическая.

Интересны противоположные мнения исследователей по поводу „мугама—лада“ и „мугама—жанра“ (И. И. Рыжкин). Так, на „диффузное, промежуточное состояние“ восточных мугамов указывает Л. Мазель, считая, что в них „понятие лада обнаруживает точки со-прикосновения с понятием жанра“⁵. Противоположно утверждение И. Я. Рыжкина: „мугам—лад во многом независим от мугама—жанра“⁶. Во многом, но не в главном: именно в жанре мугама (не в произведении с жанровыми признаками мугама, а именно в жанре мугама, имеющем свою определенную мугамную форму) последовательно и всесторонне раскрываются возможности каждого лада, его ладо-тональные связи, многообразие семантики, вырастающее в мугаме—в драматургию произведения.

И именно синтез мугамно-ладовой драматургии с азербайджанской функциональной семиладовой системой и означает мугамно-ладовую функциональную систему⁷.

О такой последовательности раскрытия возможностей лада в мугаме говорит и М. С. Исмайлов: (как известно, разделы мугамов в своем ладоинтонационном развитии базируются на опевании той или иной опорной устойчивой ступени, которая и становится переменной тоникой) „в танцевальных мелодиях, песнях, ренгах и теснифах встречаются опевания лишь некоторых из опорных звуков (1–2); причем, они опеваются не последовательно... опевание всех опорных звуков лада в последовательном порядке относится... ко всем... мугамам“⁸.

Итак, лад в азербайджанской музыкальной культуре является „строго регламентированной... системой и последовательностью переменных тоник, смысловым значением этих смен как своего рода „тональных циклов“⁹ (разр.—М.Р.).

Наиболее своеобразным моментом здесь является строгая регламентированность тональности. Так, переменность функций существует и в европейской музыкальной системе. Однако каждое произведение мажоро-минорной системы совершенно самостоятельно в выборе ладононтоальностей в процессе своего драматургического развития. В азербайджанской музыке подобное смещение ладового центра „строго регламентировано“ в конкретном произведении—мугаме. Иными словами, если в европейской музыке ладомодуляционных планов столько же, сколько существует произведений и форм, то в азербайджанской таких произведений семь¹⁰.

⁵ О путях развития языка современной музыки. „Советская музыка“, 1965, № 6.

⁶ И. Я. Рыжкин. Некоторые особенности развития национальных музыкальных культур. „Сообщения Института истории искусств“, музыкальных культур. „Сообщения Института истории искусств“, 1959, № 15, стр. 16.

⁷ Напомним о гаджибековских „правилах“ сочинения на основе каждого лада и о том, что названия ладам Уз. Гаджибеков дал по названиям мугамов. Факт „привившийся“, но глубоко значительный.

⁸ М. С. Исмайлова. Ладовые особенности азербайджанской народной музыки. Уч. зап. Азерб. гос. консерватории, 1969, № 2, стр. 9.

⁹ А. Юсфий. Особенности формообразования в некоторых видах народной музыки. В кн.: „Теоретические проблемы музыкальных форм и жанров“, стр. 135–136.

¹⁰ Напомню, что имеется в виду только мугамное творчество.

Сравнение не является преувеличением, поскольку мугам—классический канонизированный образец¹¹. Канонизированы даже ладотональности мугама: До—„Раст“, Ре—„Сегях“, Ми—„Шур“ и т. д. Однако своеобразным „каноническим“ выражением является и тонико-доминантовое соотношение тем в форме классического сонатного allegro; в всеобщей музыкальной практике существует множество форм, предполагающих свои „формулы“ ладового движения. Однако ладофункциональный контраст не является в них синонимом интонационно-ладовой драматургии: сонатная форма может быть и в мажоре и в миноре, а функция доминанты, например, может быть заменена тональностью третьей ступени, тогда как ладофункциональный контраст в мугаме предполагает конкретный ладотональный план, который и есть собственно мугамная драматургия. Между тонической и доминантовой сферами много побочных отклонений и модуляций, в мугаме же вся модуляционная сетка ладотонального развития „закодирована“.

Проблема мугамно-ладовой драматургии требует разрешения бесчисленного множества самых разнообразных вопросов. Наиболее неотложными, пожалуй, являются те, которые должны раскрыть неповторимость, яркую индивидуальность драматургии каждого мугама¹².

В статье, разумеется, нет ответа на одну из важнейших проблем мугамного принципа мышления—на проблему мугамно-ладовой функциональной системы. Однако постановка ее позволяет по-новому взглянуть на азербайджанскую народную музыку и еще раз убедиться в самоценности азербайджанской функционально ладовой системы и тех неиспользованных и нераскрытых уникальных качествах, которые заложены в ней.

Институт архитектуры и искусства

Поступило 28. II 1977

Р. Маммадова

ТЭФЭККУРУН МУГАМ ПРИНСИПНИН БИР ПРОБЛЕМИ ҺАГГЫНДА

Мугам принципинин эн мүһүм проблемләриндән бири мугам-мәгам проблеминин функционал системи һесаб олунур. Бу мәфхүмүн мәэмүну һәр шејдән әүвәл просес-суал характер дашиыр. Белә ки, о мугаматын инициафында мәгамын мүһүм координатларыны өзүндә синтез едир. Бу исә Азәрбајҹан мугамларынын канонизасијасында естетик принциплә мүәјјән олунур.

R. Mamedova

PROBLEM OF MUGAM PRINCIPLE OF THINKING

This article is devoted to one of the major problem of the mugam principle of thinking—to mugam-ladov functional system.

The study of this problem is closer to the house of unexposed unique qualities which are laid in the mugam creative work.

¹¹ Однако канон в мугаме не есть принципиальная изолированность явления, а трактуется как норма мышления азербайджанской музыки.

¹² Думается, что решение проблем мугамно-ладовой драматургии уяснит более крупные, глобальные проблемы эстетического значения; „эмансипацию“ азербайджанских ладов (например, „Забул“—от „Сегях“ и „Хумаюн“—от „Шуштер“ и т. д.).

МҮНДӘРИЧАТ

Ријазијјат

Ф. Г. Магсудов, Е. Е. Пашаева. 4-чү тәртиб өз-өзүнә гошма олмаған диференциал операторун мәхсуси функцијаларына көрә жарым охда дөргөт айрылыш 3

Е. Н. Ежавазов. $H_a + q(x)$ оператору үчүн сәпилмә мәсәләсінин һәләри үзәрә айрылыш 8

Жарымкечиричиләр вә диелектрикләр физикасы

М. И. Элиев, А. З. Даубов, И. А. Исмаилов. Cd_{0,1}Hg_{0,9}Te күчлү гејри-параболиклини мәнфи магнит мүгавиметине тә'сири 12

Физика

И. Н. Чәфәров, С. Ф. Султанов. Нејтрал зәнф чәрәјайларын турулушуна даир 15

Механика

Ж. Э. Эмәизадә, Ибраһим Элтаһир Мәһәммәд Мәһәммәд. Ексентрик еллиптик дешикли сонсуз золағын таразалығы 21

Тэтбиги механика

В. Г. Сәркисов, И. И. Семёнова. Далғаларын һидротехник тургулара динамик тә'сири нағында 26

Биофизика

Х. М. Гасымов, А. Ф. Којокару, В. В. Перелыкин, Ш. В. Мәммәдов. Үзви селен бирләшмәләринин митохондриләрин тәнәф-фүс јолуна тә'сирини тәдгиги 30

Үзви кимја

К. Н. Нәсанов, С. М. Элиев, В. С. Эһмәдов, Р. Э. Чәфәрова, М. М. Исмаилов. Учметил *n*-изопропенилфенокси галаз-йын синтези вә тәдгиги 35

Физики кимја

М. Э. Мәрданов, А. П. Мәммәдов, В. Р. Мардухаев, М. А. Нәчәфова, Е. Џ. Салаев. Аммониумун бә'зи хлоридләrinde ионлу шулалама илә индуксијаланыш ЕПР спектрләри 38

Кеокимја

А. М. Дадашов, И. С. Гулиев, І. Б. Галант. Бөйүк Гаффагијесінің әнебұл жамачының колчедан-полиметал жатаглары газларының қеокимјеви сәзі 42

Ботаника

В. Г. Гәзәнфарова. *Minuartia L., elisanthe (fenzl) reichb. (caryophyllaceae Juss.)* вә *phellaea desf. (orobanchaceae Lindl.)* чинсләринин Нахчыван МССР-иң флорасы үчүн жени нөвләри 46

Биткиләрин анатомијасы

В. Х. Тутајұг, М. К. Мустафаев. Азәрбајҹан ардычларының өртүк комплекси вә ағызыг аппараты 48

Торпагшұнаслығ

С. Э. Элиев, М. М. Нүсекиев. Дағ-гара торпагларында ферментләрни активлијинин фәсилләр үзәрә динамикасы 53

Археологија

И. Н. Нәrimанов. Загағазијада еркән малдарларын тарихинә даир 56

Мәмарлығ

Р. Мәммәдов. Тәфәккүрүн мүғам принципинин бир проблеми һағында 60

СОДЕРЖАНИЕ

Математика

- Чл.-корр. Ф. Г. Максудов, Э. Э. Пашаева. Четырехкратное разложение по собственным функциям несамосопряженного дифференциального оператора 4-го порядка на полуоси $[0, \infty)$ 3
 Э. Г. Эйвазов. Разложение по решениям задачи теории рассеяния для оператора $H_a + q(x)$ 8

Физика полупроводников и диэлектриков

- Чл.-корр. М. И. Алиев, А. З. Дашибов, И. А. Исмаилов. О влиянии сильной непарabolicности на отрицательное магнитосопротивление в $Cd_{0,1}Hg_{0,9}Te$ 12

Физика

- И. Г. Джадаров, С. Ф. Султанов. К вопросу о структуре нейтральных слабых токов 15

Механика

- Акад. Ю. А. Амензаде, Ибрагим Эльтахер Мухаммед Мухаммед. Равновесие бесконечной упругой полосы с эксцентрическим эллиптическим отверстием 21

Прикладная механика

- В. Г. Саркисов, И. И. Семенова. О динамическом воздействии волн на гидротехническое сооружение 26

Биофизика

- Х. М. Касумов, А. Ф. Кожокару, В. В. Перелыгин, Ш. В. Мамедов. Исследование действия органических соединений селена на дыхательную цепь митохондрий 30

Органическая химия

- К. Г. Гасанов, С. М. Алиев, В. С. Ахмедов, Р. А. Джадаров, М. М. Исмаилов. Синтез и исследование триметил (*n*-изопропенилфенокси) олова 35

Физическая химия

- Чл.-корр. М. А. Марданов, А. П. Мамедов, В. Р. Мардухаев, М. А. Наджафова, Э. Ю. Салаев. Спектры ЭПР-центров, индуцированных ионизирующим излучением в некоторых хлоридах алкиламмония 38

Геохимия

- А. М. Дадашев, И. С. Гулиев, Ю. Б. Галант. К геохимической характеристике газов колчеданно-полиметаллических месторождений южного склона Большого Кавказа 42

Ботаника

- В. К. Казанифарова. Новые виды из родов *Minuartia* L., *Elisanthe* (Fenzl) reichb. (Caryophyllaceae Juss.) и *Phelipaea* Desf. (Orobanchaceae Lindl.) для флоры Нахичеванской АССР 46

Анатомия растений

- Акад. В. Х. Тутаюк, М. Г. Мустафаева. Покровный комплекс и устьичный аппарат у можжевельников Азербайджана 48

Почвоведение

- Чл.-корр. АН Азерб. ССР С. А. Алиев, М. М. Гусейнов. Сезонная динамика ферментативной активности в горных черноземах 53

Археология

- И. Г. Нариманов. К истории древнейшего скотоводства Закавказья 56

Архитектура

- Р. Мамедова. Об одной проблеме мугамного принципа мышления 60

ПРАВИЛА ДЛЯ АВТОРОВ

1. В «Докладах Академии наук Азербайджанской ССР» помещаются краткие сообщения, содержащие законченные, еще не опубликованные результаты научных исследований, имеющих теоретическое или практическое значение.

В «Докладах» не публикуются крупные статьи, механически разделенные на ряд отдельных сообщений, статьи полемического характера без новых фактических данных, статьи с описанием промежуточных опытов без определенных выводов и обобщений, работы непринципиальные, описательного или обзорного характера, чисто методические статьи, если предлагаемый метод не является принципиально новым, а также статьи по систематике растений и животных (за исключением описания особо интересных для науки находок).

Статьи, помещаемые в «Докладах», не лишают автора права последующей публикации того же сообщения в развернутом виде в других изданиях.

2. Поступающие в «Доклады» статьи рассматриваются Редакционной коллегией только после представления их академиком по специальности. Каждый академик может представить не более 5-ти статей в год.

Статьи членов-корреспондентов Академии наук Азербайджанской ССР принимаются без представления.

Редакция просит академиков при представлении статьи указывать дату получения ее от автора, а также наименование раздела, в котором статья должна быть помещена.

3. В «Докладах» публикуются не более трех статей одного автора в год.

4. В «Докладах» помещаются статьи, занимающие не более четверти авторского листа—около 6—7 страниц машинописи (10 000 печатных знаков), включая рисунки.

5. Все статьи должны иметь резюме на английском языке; кроме того, статьи, написанные на азербайджанском языке, должны иметь: резюме на русском языке и наоборот.

6. В конце статьи должны быть указаны название научного учреждения, в котором выполнена работа, и номер телефона автора.

7. Опубликование результатов работ, проведенных в научных учреждениях должно быть разрешено дирекцией научного учреждения.

8. Статьи (включая и резюме), должны быть напечатаны на машинке через два интервала, на одной стороне листа и представляются в двух экземплярах. Формулы должны быть вписаны четко и ясно, при этом прописные буквы должны быть подчеркнуты (черным карандашом) двумя черточками снизу, а строчные — сверху, букву греческого алфавита надо обводить красным карандашом.

9. Цитируемая в статье литература должна приводиться не в виде подстрочных сносок, а общим списком (вподбор), в алфавитном порядке (по фамилии автора), в конце статьи с обозначением ссылки в тексте порядковой цифрой. Список литературы должен быть оформлен следующим образом:

а) для книг: фамилия и инициалы автора, полное название книги, номер тома, город, издательство и год издания;

б) для статей в сборниках (трудах): фамилия и инициалы автора, название статьи, название сборника (трудов), том, выпуск, место издания, издательство, год, страницы;

в) для журнальных статей: фамилия и инициалы автора, название статьи, название журнала, год, том, номер, (выпуск), страница.

Ссылки на неопубликованные работы не допускаются (за исключением отчетов и диссертаций, хранящихся в научных учреждениях).

10. На обороте рисунков должны быть указаны фамилия автора, название статьи и номер рисунка. Отпечатанные на машинке подписи к рисункам представляются на отдельном листе.

11. Авторы статей должны указывать индекс статьи по Унифицированной десятичной классификации (УДК) и прилагать реферат для «Реферативного журнала».

12. Авторы должны избегать повторения одинаковых данных в таблицах, графиках и в тексте статьи.

Ввиду небольшого объема статей выводы помещаются лишь в необходимых случаях.

13. В случае представления двух или более статей одновременно необходимо указать желательный порядок их помещания.

14. Корректура статей авторам как правило не посыпается. В случае посылки корректуры допускается лишь исправление ошибок типографии.

15. Редакция выдает автору бесплатно 15 отдельных оттисков статьи.

Сдано в набор 26/VIII 1977 г. Подписано к печати 3/XI 1977 г. Формат бумаги 70×108^{1/16}. Бум. лист. 2,13. Печ. лист. 5,95. Уч.-изд. лист. 5,21. ФГ 19807.
Заказ 658. Тираж 691. Цена 40 коп.

Издательство «Элм». 370073. Баку-73, проспект Нариманова, 31,
Академгородок, Главное здание.

Типография „Красный Восток“ Государственного комитета Совета Министров
Азербайджанской ССР по делам издательств, полиграфии и книжной торговли.
Баку, ул. Ази Асланова, 80.

Индекс
76355

40 гэп.
коп.